

BIBLIOTECA FAC. DE QUIMICA

"La Actividad Antibacteriana del Fenol en función
del pH (Cálculo estadístico de las variaciones -
en densidad óptica)"

M. DE LOURDES GABRIELA NEGRETE FLORES.

MEXICO, D. F.

1967.



UNAM – Dirección General de Bibliotecas

Tesis Digitales
Restricciones de uso

DERECHOS RESERVADOS ©
PROHIBIDA SU REPRODUCCIÓN TOTAL O PARCIAL

Todo el material contenido en esta tesis está protegido por la Ley Federal del Derecho de Autor (LFDA) de los Estados Unidos Mexicanos (México).

El uso de imágenes, fragmentos de videos, y demás material que sea objeto de protección de los derechos de autor, será exclusivamente para fines educativos e informativos y deberá citar la fuente donde la obtuvo mencionando el autor o autores. Cualquier uso distinto como el lucro, reproducción, edición o modificación, será perseguido y sancionado por el respectivo titular de los Derechos de Autor.

UNIVERSIDAD NACIONAL AUTONOMA DE MEXICO

FACULTAD DE QUIMICA

ESTUDIANTE: ...

ESTUDIANTE: ...

ESTUDIANTE: ...

**"La Actividad Antibacteriana del fenol en función
del pH (cálculo estadístico de las variaciones -
en densidad óptica)"**

ESTUDIANTE: ...

T E S I S

Que para obtener el título de

QUIMICO FARMACEUTICO BIOLOGO

presenta

MARIA DE LOURDES GABRIELA NEGRETS FLORES.

1967.

JURADO ASIGNADO .

PRESIDENTE : Sr. Prof. José Suárez Islas.

VOCAL : Sr. Prof. Oscar Amor Díaz.

**SECRETARIO : Srita. Profra. Ma. del Consuelo Hidalgo
Montañés.**

1er. SUPLENTE : Sr. Prof. Edgar Rubio de R.

2do. SUPLENTE : Srita. Profra. Raquel Madrid E.

**Este Tráis se desarrolló en la Facultad
de Química**

UNIVERSIDAD NACIONAL AUTÓNOMA DE MÉXICO

Bajo la dirección de la Srita. Profra.:

Q.P.B. Ma. del Consuelo Hidalgo Montañés.

ESTUDIO DE LA VIDA DE LOS PECES

Este trabajo es una revisión de la vida de los peces en el lago de Maracaibo. Se han estudiado los peces que viven en el lago y se han hecho estudios sobre su comportamiento, alimentación, reproducción y desarrollo. Los resultados de estos estudios se presentan en este informe.

Este informe es una revisión de los estudios realizados sobre la vida de los peces en el lago de Maracaibo. Se han estudiado los peces que viven en el lago y se han hecho estudios sobre su comportamiento, alimentación, reproducción y desarrollo. Los resultados de estos estudios se presentan en este informe.

1.- INTRODUCCIÓN.

Este informe es una revisión de los estudios realizados sobre la vida de los peces en el lago de Maracaibo. Se han estudiado los peces que viven en el lago y se han hecho estudios sobre su comportamiento, alimentación, reproducción y desarrollo. Los resultados de estos estudios se presentan en este informe.

2.- TRABAJO EXPERIMENTAL.

Este informe es una revisión de los estudios realizados sobre la vida de los peces en el lago de Maracaibo. Se han estudiado los peces que viven en el lago y se han hecho estudios sobre su comportamiento, alimentación, reproducción y desarrollo. Los resultados de estos estudios se presentan en este informe.

3.- GRÁFICAS.

Este informe es una revisión de los estudios realizados sobre la vida de los peces en el lago de Maracaibo. Se han estudiado los peces que viven en el lago y se han hecho estudios sobre su comportamiento, alimentación, reproducción y desarrollo. Los resultados de estos estudios se presentan en este informe.

4.- CONCLUSIONES.

Este informe es una revisión de los estudios realizados sobre la vida de los peces en el lago de Maracaibo. Se han estudiado los peces que viven en el lago y se han hecho estudios sobre su comportamiento, alimentación, reproducción y desarrollo. Los resultados de estos estudios se presentan en este informe.

5.- BIBLIOGRAFIA.

Este informe es una revisión de los estudios realizados sobre la vida de los peces en el lago de Maracaibo. Se han estudiado los peces que viven en el lago y se han hecho estudios sobre su comportamiento, alimentación, reproducción y desarrollo. Los resultados de estos estudios se presentan en este informe.

Este informe es una revisión de los estudios realizados sobre la vida de los peces en el lago de Maracaibo. Se han estudiado los peces que viven en el lago y se han hecho estudios sobre su comportamiento, alimentación, reproducción y desarrollo. Los resultados de estos estudios se presentan en este informe.

Este informe es una revisión de los estudios realizados sobre la vida de los peces en el lago de Maracaibo. Se han estudiado los peces que viven en el lago y se han hecho estudios sobre su comportamiento, alimentación, reproducción y desarrollo. Los resultados de estos estudios se presentan en este informe.

Este informe es una revisión de los estudios realizados sobre la vida de los peces en el lago de Maracaibo. Se han estudiado los peces que viven en el lago y se han hecho estudios sobre su comportamiento, alimentación, reproducción y desarrollo. Los resultados de estos estudios se presentan en este informe.

Este informe es una revisión de los estudios realizados sobre la vida de los peces en el lago de Maracaibo. Se han estudiado los peces que viven en el lago y se han hecho estudios sobre su comportamiento, alimentación, reproducción y desarrollo. Los resultados de estos estudios se presentan en este informe.

Este informe es una revisión de los estudios realizados sobre la vida de los peces en el lago de Maracaibo. Se han estudiado los peces que viven en el lago y se han hecho estudios sobre su comportamiento, alimentación, reproducción y desarrollo. Los resultados de estos estudios se presentan en este informe.

1.- INTRODUCCION:

La actividad antibacteriana de los antisépticos conocidos hasta ahora es evaluada por la determinación del llamado "índice fenólico" cuya definición es: "relación que hay entre la cantidad requerida de un antiséptico y la del fenol para inhibir el desarrollo de un microorganismo en un medio de cultivo en condiciones similares". Según esto, se tiene que si un cierto antiséptico es capaz de efectuar su acción frente a microorganismos en una dilución diez veces mayor que el fenol, se dirá que su índice fenólico será 10.

Las técnicas que se han venido siguiendo son típicas, pero conducen a numerosos errores tanto sistemáticos como accidentales.

El intento de llegar a un método que ofrezca mayor exactitud, eliminando al mínimo los factores causantes de errores, ha motivado el estudio del método de la lectura de densidades ópticas de los cultivos adicionados de antisépticos en diferentes diluciones y haciendo posteriormente un cálculo estadístico a partir de los resultados obtenidos, considerando que la ~~densidad óptica sea tanto mayor, cuanto más~~ abundante sea el desarrollo bacteriano, por lo tanto, ~~demandará~~ si se ha logrado inhibir mediante la adición de un compuesto que puede ser, bien bacteriostático, bien bactericida. El objeto de este trabajo es el estudio de dicho método.

Teniendo en cuenta que la acción de los antisépticos depende también de las condiciones en las cuales ejerce su acción, estudiamos el efecto de las variaciones de pH del medio.

Para los trabajos prácticos se seleccionó al *Staphylococcus aureus* como germe tipo.

Se prepararon diferentes soluciones a concentraciones variables de fenol.

Los valores de pH a los que se trabajó fueron 2, - 2.4, 2.8, etc. hasta 10 variando de 0.4 en 0.4 (simultáneamente se determinó la actividad del beta-naftol para estar en posición de observar su acción como antiséptico en comparación con el fenol e independientemente de la comparación evaluar su actividad antiséptica). El resultado positivo de este estudio permitirá llegar a una técnica en la que no se evaluará su índice fenólico sino simplemente la actividad antiséptica.

De acuerdo con lo anterior, se procedió a investi-

gar si habría una variación estadísticamente válida con diferentes concentraciones que sean proporcionales al valor de la densidad óptica, por lo que se tomó un cultivo diluyéndole en diferentes concentraciones, y a continuación determinar la densidad óptica de cada una de ellas después de un tiempo igual de cultivo. Si el caldo de cultivo absorbe cierta cantidad de luz, por lo cual se hace necesario utilizar caldo de cultivo sin inocular como prueba en blanco para evitar errores de lecturas. Posteriormente se procedió a comprobar la longitud de onda a la cual la densidad óptica es más sensible a los cambios y después a determinar si la densidad óptica varía proporcionalmente a la concentración de microorganismos; esto se hizo prácticamente haciendo diluciones consiguientes de un cultivo de 24 horas a 1:10, 1:100, 1:1250, 1:500. Las diluciones de cultivo se hicieron con solución salina isotónica; se hicieron las lecturas de densidad óptica de cada dilución, tanto de cultivo como de caldo y se trazaron las correspondientes gráficas; se observó que efectivamente había un cambio de densidad óptica proporcional a la concentración microbiana.

2.- TRABAJO EXPERIMENTAL:

En este capítulo se expone el trabajo experimental que se hizo con base en las anteriores consideraciones y que servirá para fundamentar las conclusiones, consta de varias partes que son:

- a).- Determinación de la densidad óptica en función de la longitud de onda a la cual se determina. El trabajo se efectuó utilizando un fotocolorímetro marca Leitz. Se seleccionaron diferentes longitudes de onda y se determinaron las densidades ópticas; estas longitudes fueron: 415, 445, 460, 490, 520, 550, 580, 610 y 640 milimicrones; se determinaron las densidades ópticas que aparecen en la tabla Núm. 1 al final del capítulo y se vió que la longitud de onda mejor fue la de 415 milimicrones por lo que los siguientes pasos se hicieron utilizando esta longitud.
- b).- En seguida se investigó la sensibilidad del método determinando la densidad óptica a diferentes diluciones de microorganismos, seleccionando para el efecto el *Staphylococcus aureus* proporcionado por la Srita. Oficina de Raúl Manrique Regil del departamento de Microbiología de la Facultad de Química a quien expresamos nuestro agradecimiento.

Para el efecto se hizo un cultivo de 24 hrs.- en caldo lactosado del germe escogido y se afordó a 100 ml. de ahí se hicieron diluciones con solución salina isotónica al 1:10, 1:100, 1:1000 y 1:10,000 así como también 1:1, al mismo tiempo se prepararon diluciones de caldo no inoculado a las mismas concentraciones para usarse en las pruebas en blanco; estas diluciones también se hicieron con solución salina para tener las mismas condiciones cuando se trabajaba con el caldo inoculado que cuando se trabajaba con el caldo estéril. Con los resultados prácticos obtenidos en densidad óptica, se trazaron las correspondientes curvas A' que nos dan idea de la sensibilidad del método; los resultados se encuentran en la tabla Nro. 2 al final del capítulo.

Las observaciones de este paso demuestran que efectivamente la densidad óptica está dada en función de la concentración de los microorganismos y por lo tanto el método de medición de densidad óptica de una suspensión de cultivo debe poderse usar para determinar la actividad de un antiséptico dado.

c).- Se procedió a determinar la actividad del feno a diferentes diluciones, sin embargo éste ya ha sido muy estudiado pues fue de los primeros antisépticos conocidos.

Para este se hicieron cultivos de *Staphylococcus aureus* a los cuales se les adicionaron cantidades progresivas de feno, encontrándose que es mejor trabajar con diluciones del antiséptico y agregar a ellas una cantidad igual de suspensión de microorganismos, en esta forma se trabaja en condiciones efectivamente iguales. La suspensión del germe se obtuvo por el raspado mediante un agitador de un cultivo en gelosa con solución salina isotónica y homogeneizado por agitación. Igualmente las diluciones de feno se hicieron a partir de feno cristalizado; calidad analítica. Se preparó una solución aquosa de concentración 1:1000 a la que se llenó "A" tomando de esta solución como inicial se hicieron las siguientes diluciones según la tabla:

Soluciones	Fenol	Agua	Dilución
A	0.1g	10 ml.	1:10000
B	Zal.A	5 ml.	1:20000
C	1al.A	9 ml.	1:100000
D	2al.B	8 ml.	1:20000
E	1al.B	9 ml.	1:90000
F	2al.C	8 ml.	1:90000
G	1al.C	9 ml.	1:100000
H	2al.F	8 ml.	1:125000
I	1al.F	9 ml.	1:125000
J	2al.G	8 ml.	1:150000
K	1al.G	9 ml.	1:1000000

Teniendo ya preparadas las diluciones de fenol se procedió a hacer las mezclas de suspensión y de fenol en las proporciones siguientes: a una serie de 11 tubos se les adicionó 1 ml. de caldo lactoacido preparado con media marca Bifco, 1 ml. de cada una de las diluciones de fenol que son 11 y 1 ml. de la suspensión bacteriana, se incubaron a ~~37°C~~ ~~24 hrs.~~ al cubo de los cuales se inactivaron por calentamiento a vapor firante y se leyó la densidad óptica en el fotocolorímetro Unigado. Se trazaron las gráficas con los resultados obtenidos (gráfica A) comprobándose que efectivamente la densidad óptica aumenta al aumentar la dilución de fenol ya que aumenta el desarrollo bacteriano por haber menor inhibición en esas condiciones.

d).- La siguiente parte consistió en comprobar que el efecto del fenol podría ser modificado por diferentes condiciones, tomando especial atención en el valor de pH. Para el caso se trabajó en pH extremos tanto muy ácidos (pH=4), no muy alcalinos (pH=10) a los cuales será limitado el desarrollo independientemente de que se use o no el fenol o cualquier otro antiséptico. Partiendo desde el pH de 2 hasta 10 que son los que consideramos extremos a los cuales el microorganismo no crece, se fueron variando los valores de 0.4 en 0.4 usando por lo tanto valores de pH de 2, 2.4, 2.8, 3.2, etc. hasta 10. La forma de mantener el pH deseado fue por medio del uso de soluciones

asortiguadores cuya fórmula varía y se dan al concluir al final del capítulo en la tabla Bás. 3. Al introducir el uso de asortiguadores, se modificó la técnica anterior usando sobre 4 ml. del caldo lactosato, 4 ml. del asortiguador = 1 ml. de suspensión bacteriana y 1 ml. de 10-dilución del antiséptico, después se incubó a 37°C por 24 hrs. posteriormente se inactivó por calentamiento a vapor fluente por media hora y se leyeron las densidades ópticas en el fotocolorímetro, con las lecturas obtenidas se les sometió a tratamiento estadístico con el objeto de obtener gráficas más representativas de la sensibilidad del método, ya que graficando directamente las lecturas obtenidas no se obtuvieron gráficas claras y precisas de la sensibilidad del método. Las gráficas obtenidas por tratamiento estadístico se encuentran después de este capítulo (gráficas C y D). En los casos que se usó asortiguador este fue adicionado tanto en los cultivos problema como en los que servían de blanco para ajustar a 0 el aparato. Para tener mejores resultados se modificó el tiempo de incubación, reduciéndolo a 4 hrs., dato que entonces el cultivo está en su fase logarítmica de desarrollo y por consiguiente consideramos que la variación en densidad óptica deberá ser más marcada, también se modificó el medio de cultivo agregándole al ya descrito galactosa al 3 por 1000 para obtener un medio más homogéneo. Salvo estas modificaciones la técnica seguida fue la ya descrita. Con los resultados obtenidos se trazaron las gráficas correspondientes que aparecen al final del capítulo (gráficas D), en este caso no se les sometió a tratamiento estadístico ya que graficando directamente las lecturas obtenidas se obtuvieron rectas que nos dan idea precisa de los resultados del método (gráficas D).

El método que se siguió para efectuar los cálculos estadísticos consta de los siguientes pasos:

Hay que considerar que se toma como X el valor del pH o la dilución según el caso y como Y las lecturas de la densidad óptica obtenidas y n como el número de datos o lecturas.

1).- ΣX = Suma de los valores de pH o del logaritmo de las diluciones según el caso.

2).- \bar{X} = Al cociente de la división $\Sigma X / n$.

tre el número de lecturas que se tienen.

3) ΣX^2 = Suma de cada uno de los valores de X elevado al cuadrado o con la suma de los valores de pH o del logaritmo de las diluciones al cuadrado según el caso.

4) $-(\Sigma X)^2$ = Suma de los valores de pH o del logaritmo de las diluciones elevados al cuadrado.

5) $-(\Sigma X)^{2/2}$ = Cociente de la división de la suma de los valores de pH o del logaritmo de las diluciones al cuadrado entre el número de lecturas.

6) \bar{Y}^2 = Resultado de la resta $\Sigma X^2 - (\Sigma X)^2/n$

Para los valores de Y o para las lecturas en densidad óptica se siguen los mismos pasos o son:

1) ΣY = Suma de las lecturas en densidad óptica.

2) \bar{Y} = Suma de las lecturas en densidad óptica entre el número de lecturas.

3) ΣY^2 = Suma de los cuadrados de cada una de las lecturas.

4) $-(\Sigma Y)^2$ = Suma de las Y o sumas de las lecturas.

5) $-(\Sigma Y)^{2/2}$ = Cociente de dividir el cuadrado de la suma de las lecturas o sea $(\Sigma Y)^2$ entre el número de lecturas.

6) \bar{Y}^2 = Resultado de la resta $\Sigma Y^2 - (\Sigma Y)^2/n$

Después se hace una combinación de los datos de X y Y como sigue:

ΣXY = Suma de los productos obtenidos al multiplicar el valor de X por el correspondiente valor de Y , siendo X el valor del pH ó logaritmo de la dilución y Y las lecturas dadas.

$\Sigma X \cdot \Sigma Y$ = Producto de múltiplos X por Y descritos antes.

$\Sigma X \cdot \Sigma Y/n$ = Cociente de la división del producto de X entre Y y entre el número de lecturas del caso.

XY = Resultado de restar $\Sigma X + Y$ -
 $\Sigma X + Y/n_0$.

Finalmente se calcularan los siguientes datos:

- B^2 = Al cociente de dividir XY ya descrito, elevada al cuadrado entre X^2 .
- s^2 = Al cociente de dividir $B^2 - Y$ ya - descrito antes entre $n-2$ o sea el - numero de lecturas menos 2.
- P = Es el cociente de dividir B/s .
- b = Cociente de dividir XY/X^2 .

Finalmente para graficar y obtener una recta con tres puntos: uno que es el que va sobre el origen en el eje de las abscisas y que está dado por el valor calculado para b , otro punto que está dado por el valor calculado de la pendiente (P) sobre el eje de las abscisas y la Y en las ordenadas y un tercer punto que se calcula de la siguiente forma, utilizando la - ecuación de la recta

$$Y = b(X - \bar{X}) + Y \text{ desarrollando se tiene}$$
$$Y = bY + b\bar{X} - \bar{Y}$$

en donde b es un valor ya calculado descrito con anteriores ($b = B^2/X^2$) y X es un valor variable que se puede dar según el caso, es decir, puede hacerse $X = 100, 200, \dots$ de acuerdo con la necesidad. Del segundo miembro b es el mismo valor que el anterior y los dos valores X y Y están ya calculados a lo largo del método estadístico ya descrito; efectuando las operaciones se obtuvo el tercer punto; después se unieron estos tres puntos por una linea recta, obteniéndose así una gráfica por medio de cálculo estadístico.

DEPARTAMENTO DE INVESTIGACIONES MEDICAS
INSTITUTO NACIONAL DE SALUD

DETERMINACION DE LA DENSIDAD OPTICA A DIFERENTES LONGITUDES DE ONDA.

LONGITUD DE ONDA	DENSIDAD OPTICA
415 milimicrones	.357
443	.350
460	.316
480	.190
500	.131
535	.114
550	.089
580	.071
610	.051
640	.031

TABLA II

DETERMINACION DE LA SENSIBILIDAD DEL METODO POR MEDIO DE LECTURAS EN DENSIDAD OPTICA DE DIFERENTES DILUCIONES DE ALGUNOS ORGANISMOS

DILUCION	LECTURAS EN DENSIDAD OPTICA.
1:1	0.222
1:10	0.071
1:100	0.009
1:1000	0.004
1:10000	0.002

- 9 -

T A B L A III

Fórmula de las soluciones amortiguadoras empleadas en el trabajo.

g/l	Malato ácido de potasio N/3	HCl N/3	Agua
2.00	50 ml.	46.60 ml.	Cebado 300 ml.
2.6	50 ml.	33.0 ml.	"
3.00	50 ml.	20.40 ml.	"
3.4	50 ml.	9.85 ml.	"
3.8	50 ml.	2.65 ml.	"
g/l	Malato ácido de potasio N/3	KOH N/3	Aqua
4.00	50 ml.	3.0 ml.	Cebado 300 ml.
4.6	50 ml.	6.6 ml.	"
5.0	50 ml.	16.5 ml.	"
5.4	50 ml.	28.4 ml.	"
5.8	50 ml.	39.4 ml.	"
g/l	K_2PO_4 N/3	KOH N/3	Aqua
5.00	50 ml.	36.6 ml.	Cebado 300 ml.
6.0	50 ml.	6.53 ml.	"
6.6	50 ml.	17.74 ml.	"
7.0	50 ml.	29.24 ml.	"
7.2	50 ml.	34.93 ml.	"
7.6	50 ml.	42.74 ml.	"
8.0	50 ml.	49.65 ml.	"
g/l	K_3PO_4 N/3	KOH N/3	Aqua
8.4	50 ml.	4.0 ml.	Cebado 300 ml.
8.8	50 ml.	6.53 ml.	"
9.2	50 ml.	16.40 ml.	"
9.6	50 ml.	26.70 ml.	"
10.00	50 ml.	36.85 ml.	"

T A B L A IV

Datos experimentales obtenidos en densidad óptica a 24 hrs.
de incubación.

DILUCION	pH									
	2.0	2.6	3.0	3.4	3.8	4.0	4.4	4.8	5.2	
1:1000	.010	-	.027	.037	.056	.064	.039	.036	.032	.032
1:5000	-	.007	.034	.049	.057	.100	.051	.043	.021	
1:10000	.005	-	.005	.022	.046	.078	-	.030	.037	
1:25000	.002	.022	.018	.031	.079	.066	.049	.030	.034	
1:50000	.003	.011	.036	.043	.034	.035	.036	.039	.064	
1:500000	.012	.002	.052	.049	.043	.079	.076	.027	.053	
1:1000000	.018	-	.010	.005	.039	.062	.051	.030	.048	
1:1250000	.008	.002	.047	.075	.048	.071	.036	.038	.066	
1:1500000	-	.002	.033	.052	.034	.032	.065	.032	.036	
1:1500000	.004	-	.060	.028	.048	.100	.061	.016	.097	
1:10000000	-	.007	.057	.050	.058	.030	.032	.016	.064	
pH										
	5.6	5.8	6.2	6.6	7.0	7.2	7.6	8.0	8.4	
1:1000	.043	.137	.020	-	.143	.137	.116	.041	.104	
1:2000	.192	.004	.020	.233	.164	.078	.001	.063	.152	
1:10000	.095	.132	.146	.177	.166	.174	.108	.043	.081	
1:85000	.177	.123	.161	.211	.091	.187	.029	.073	.063	
1:50000	.071	.153	.160	.191	.152	.128	.102	.030	.031	
1:30000	.152	.107	.119	.210	.046	.174	.013	.041	.056	
1:1000000	.048	.149	.149	.209	.215	.137	.046	.061	.056	
1:1250000	.046	.149	.177	.201	.124	.137	.097	.034	.046	
1:1500000	.136	.143	-	.201	.167	.171	.116	.111	.107	
1:1500000	.146	.149	-	.201	.201	.161	.061	.069	.061	
1:10000000	.149	.102	.016	.201	.215	.136	.116	.071	.069	

DILUCION

pH

	6.0	9.2	9.6	10	10.4
1:1000	.036	.045	.139	.066	.084
1:5000	.026	.041	.084	.060	.080
1:10000	.064	.061	.080	.044	.078
1:20000	.046	.046	.123	.125	.135
1:50000	.076	.029	.076	.039	.092
1:100000	.029	.048	.076	.108	.092
1:1000000	.043	.053	.073	.092	.061
1:1250000	.068	.093	.086	.066	.114
1:1500000	.097	.043	.084	.073	.125
1:1500000	.074	.064	.102	.121	.086
1:10000000	.094	.076	.111	.081	.086

T A B L A V

Valores experimentales obtenidos en densidad óptica a los —
4 hrs. de incubación.

DILUCION

pH

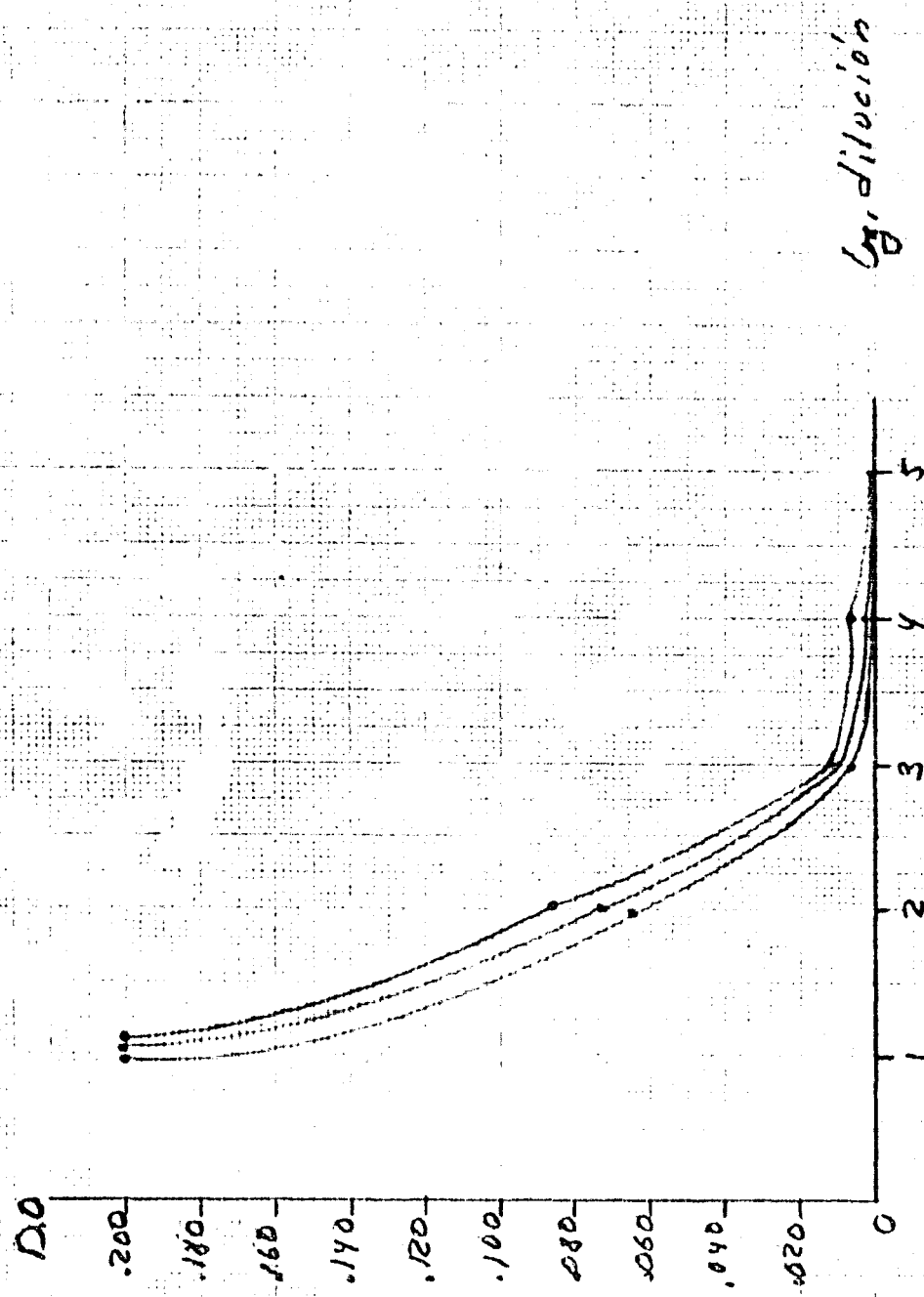
	5.0	5.4	5.6	6.2	6.6	7.0	7.4	7.8
1:1000	.012	.019	.005	.060	.002	.072	.112	.092
1:5000	.012	.016	.005	.049	.002	.066	.100	.080
1:10000	.010	.010	.004	.041	0	.055	.088	.078
1:20000	.006	.006	0	.026	.002	.048	.080	.070
1:50000	.001	.006	0	.010	.001	.025	.069	.048
1:90000	.001	.009	0	.026	.001	0	.079	.060
1:100000	0	.004	0	.013	.004	.040	.072	.056
1:125000	0	.011	.005	.031	0	.050	.052	.092
1:150000	.000	.016	.004	.031	0	.099	.063	.093
1:1500000	.026	.014	.007	.031	.002	.160	.070	.055
1:10000000	.095	.024	.015	.036	0	.160	.070	.075

O B A F I C A S

2

Determinaciones de la sensibilidad del método.

Gráfica A



Actividad del Fenol a $pH = 3$

100

100

100

100

100

100

100

100

100

100

100

100

100

100

100

100

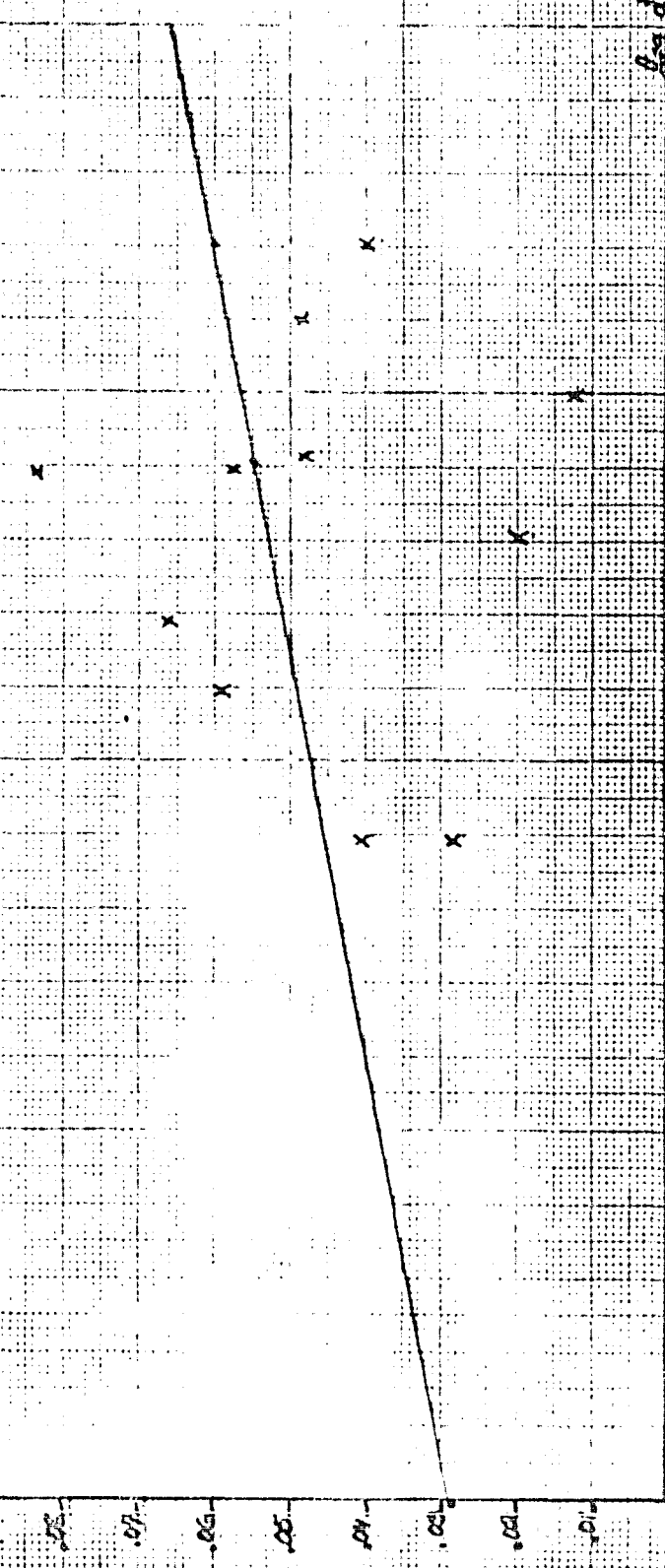
log dilución

600

500

300

400



Actividad del Fano a $p^A = 3.4$

$p^A = 3.4$

11

12

14

15

13

12

11

10

9

8

7

6

5

4

3

2

1

0

500
400
300
200
100

600

leg. dilat.

Actividad del Tensol a pH = 3.8

pH = 3.8

100

100

100

100

100

100

100

100

100

100

100

100

100

100

log dilución

600

500

400

300

200

100

100

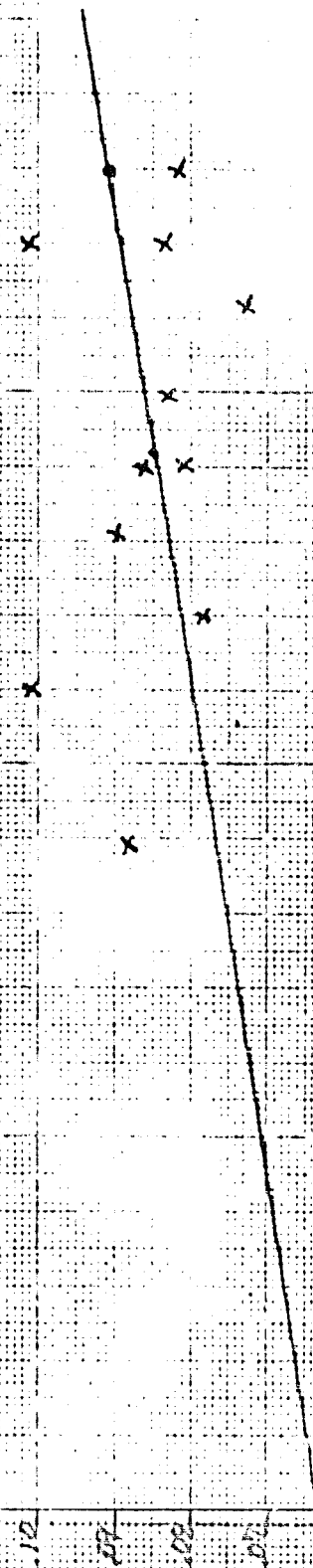


$\rho \text{H}_2 = 9$

Actividad del TiO_2 a $\rho \text{H}_2 = 9$

14
13
12
11
10
9
8
7
6
5
4
3
2
1

1000
900
800
700
600
500
400
300
200
100
0



log dilution

600

500

400

300

200

100

0

$pH = 4.9$

Actividad del Fondo a $pH = 4.9$

10⁻¹⁰

10⁻¹⁵

10⁻²⁰

10⁻²⁵

10⁻³⁰

10⁻³⁵

10⁻⁴⁰

10⁻⁴⁵

10⁻⁵⁰

10⁻⁵⁵

10⁻⁶⁰

10⁻⁶⁵

10⁻⁷⁰

Ley de Hazeus

600

500

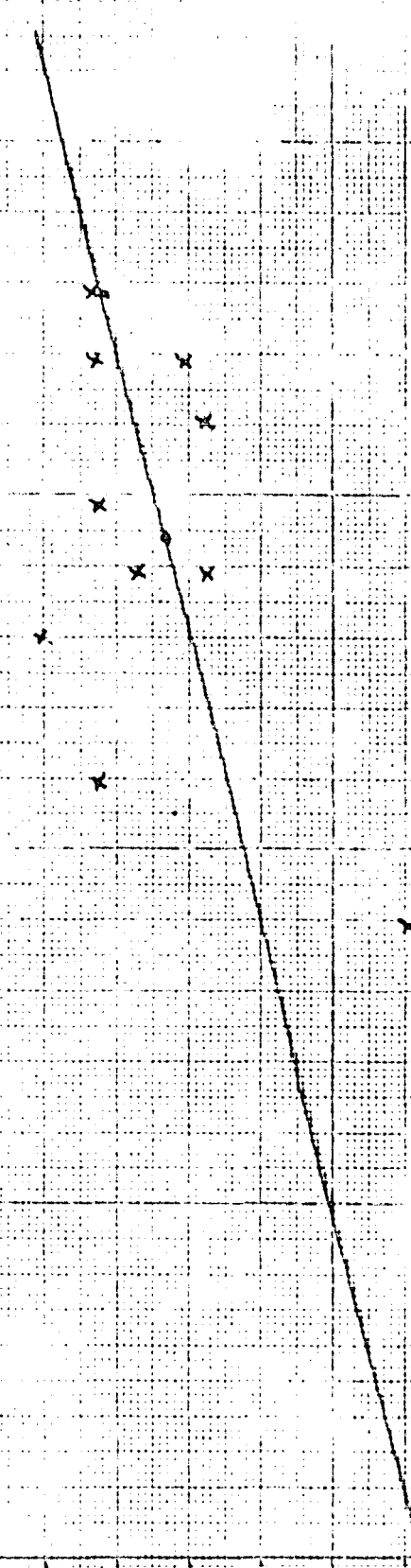
400

300

200

100

0



Actividad del Fenoal o $\rho^A = 4.8$

$\rho^A = 2.1$

15-
12-
16-
15-
14-
12-
11-
10-
9-
8-
7-
6-
5-
4-
3-
2-
1-

Situación

300 400 500 600

EFICACIA
 $\rho_A = 5.2$

Actividad del Fenol a $\rho_H = 5.2$

18 17 16 15 14 13 12 11 10 9 8 7 6 5 4 3 2 1

dilución

600

500

400

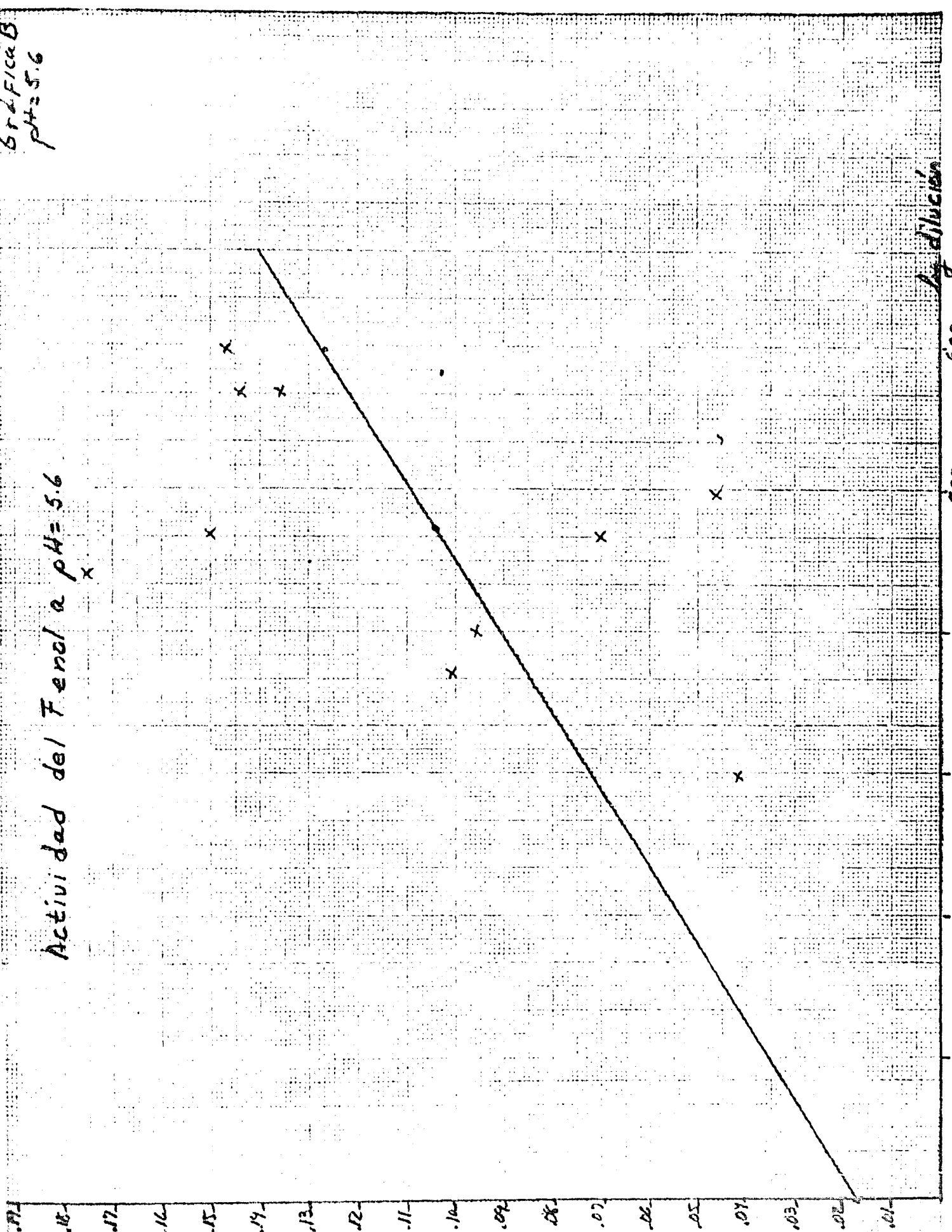
300

200

100

Gráfica B
 $pH = 5.6$

Actividad del F en el $pH = 5.6$



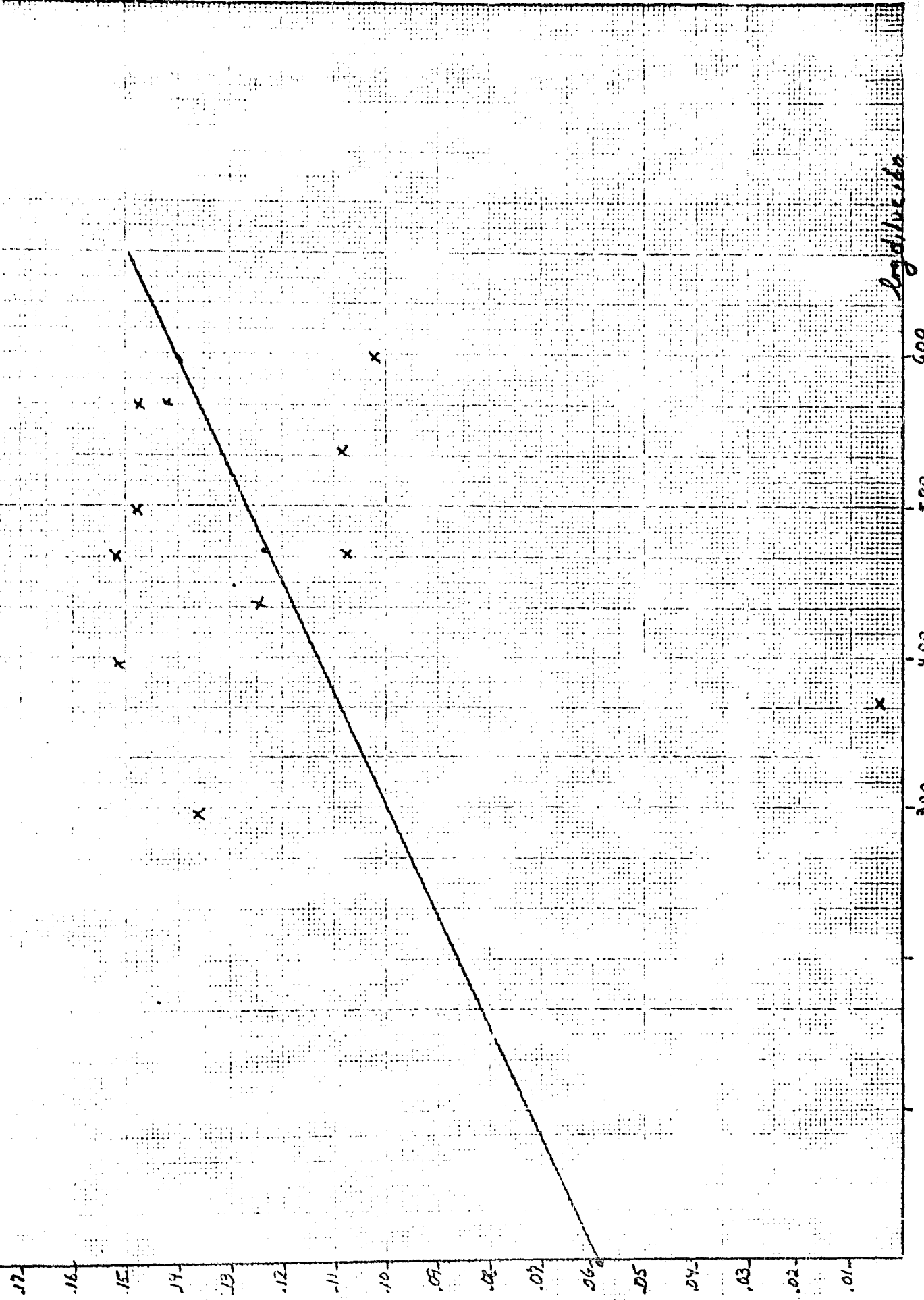
log dilución

-1.20 -1.00 -0.80 -0.60 -0.40 -0.20 0.00 0.20 0.40 0.60 0.80 1.00

Gráfica B

$$\rho = 5.8$$

Actividad del Fenol a $\rho A = 5.8$



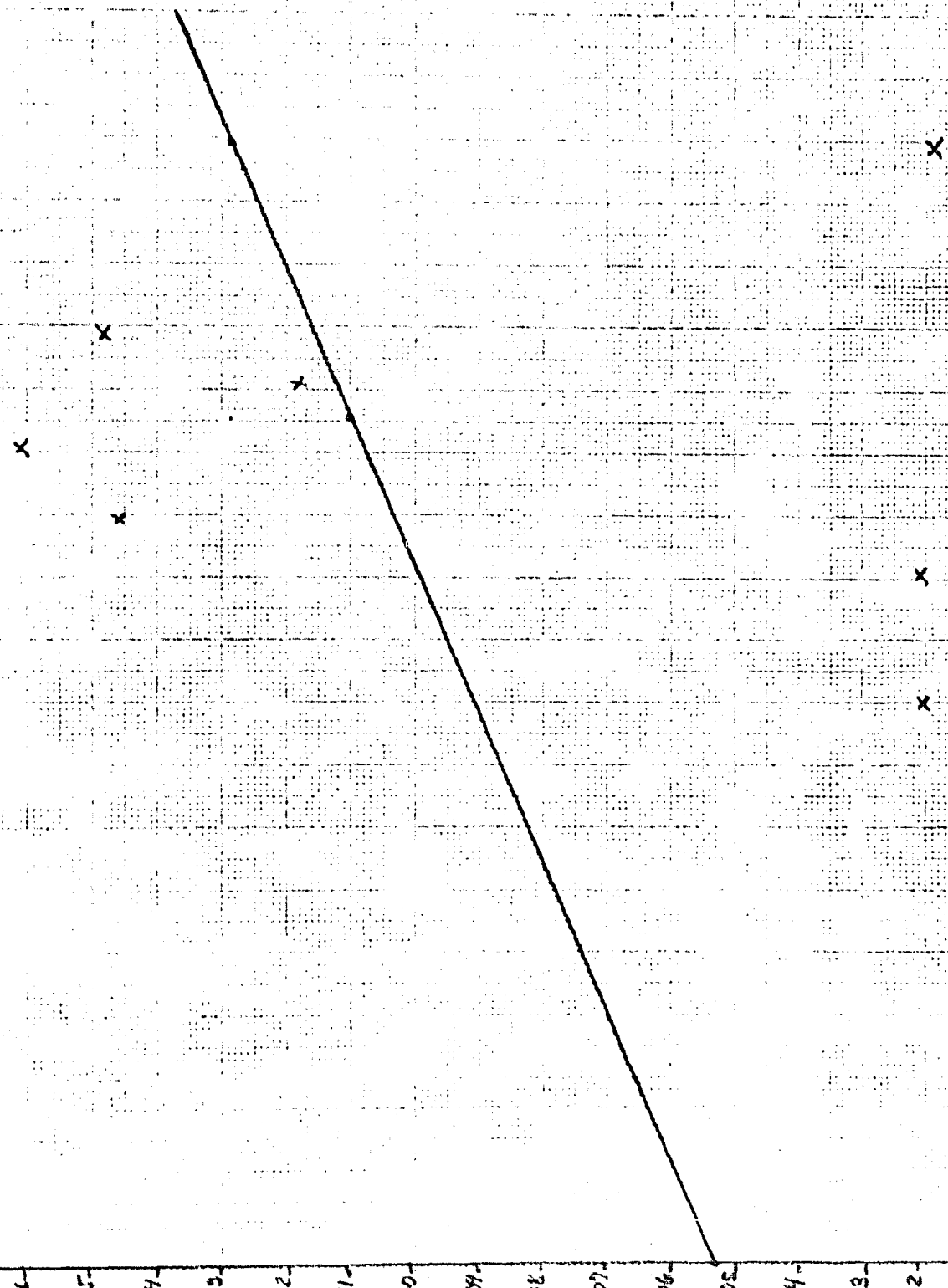
$pH = 6.2$

Actividad del Fenol a $pH = 6.2$

18
16
14
12
10
8
6
4
2
0

300 400 500 600

log dilución

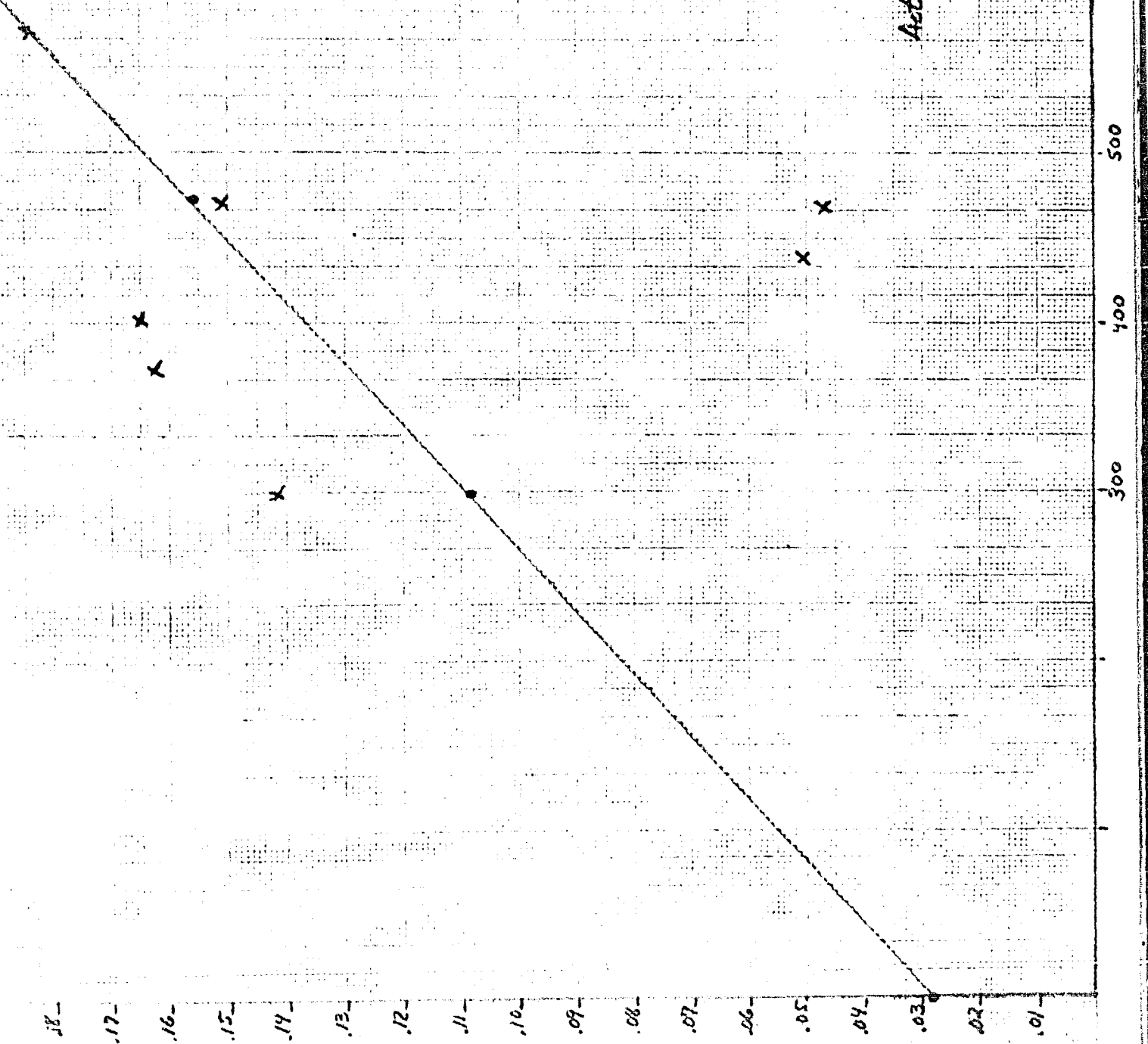


$\rho^{H=7}$

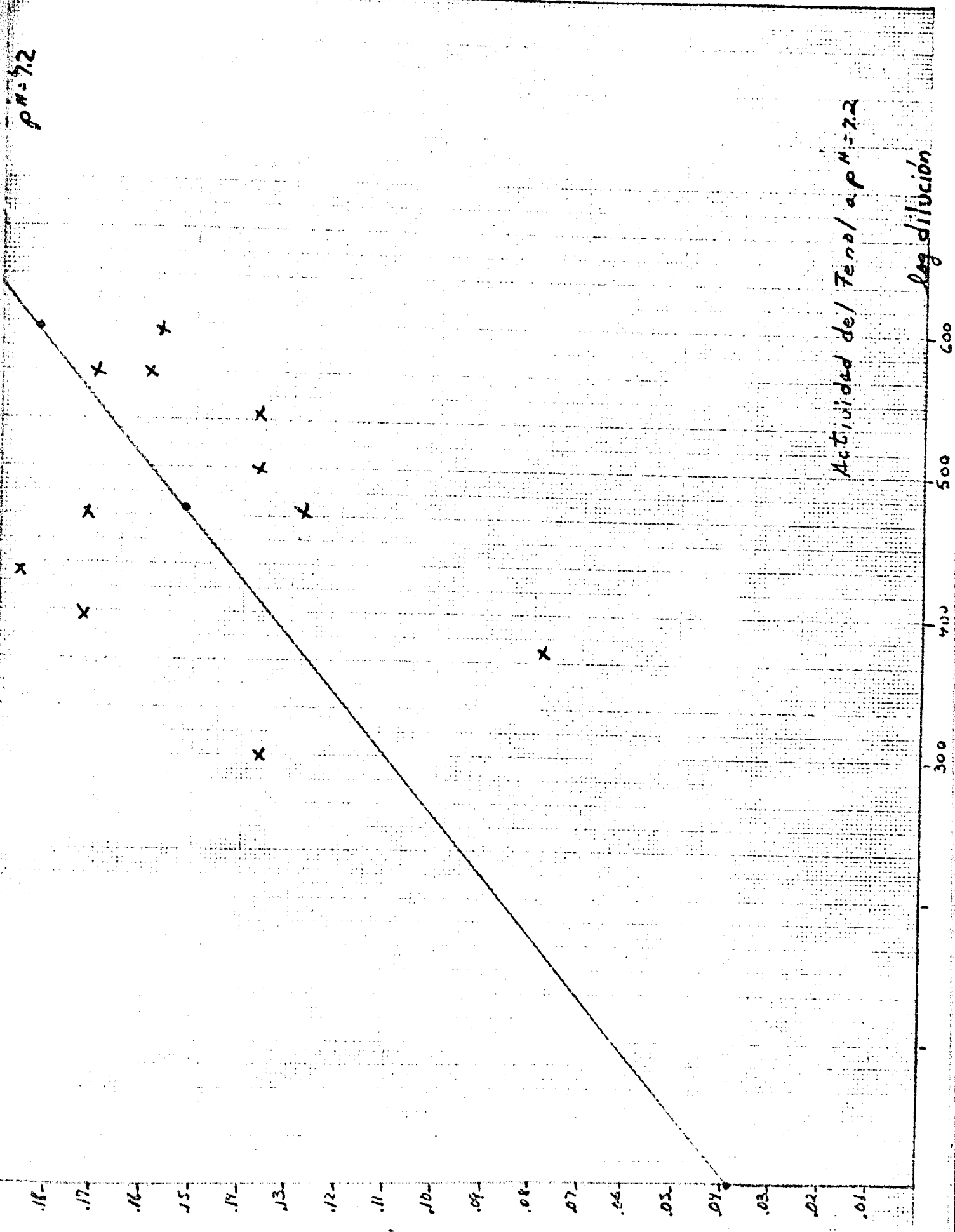
log difusión

300 400 500 600

Actividad desfond $\alpha^{H=7}$

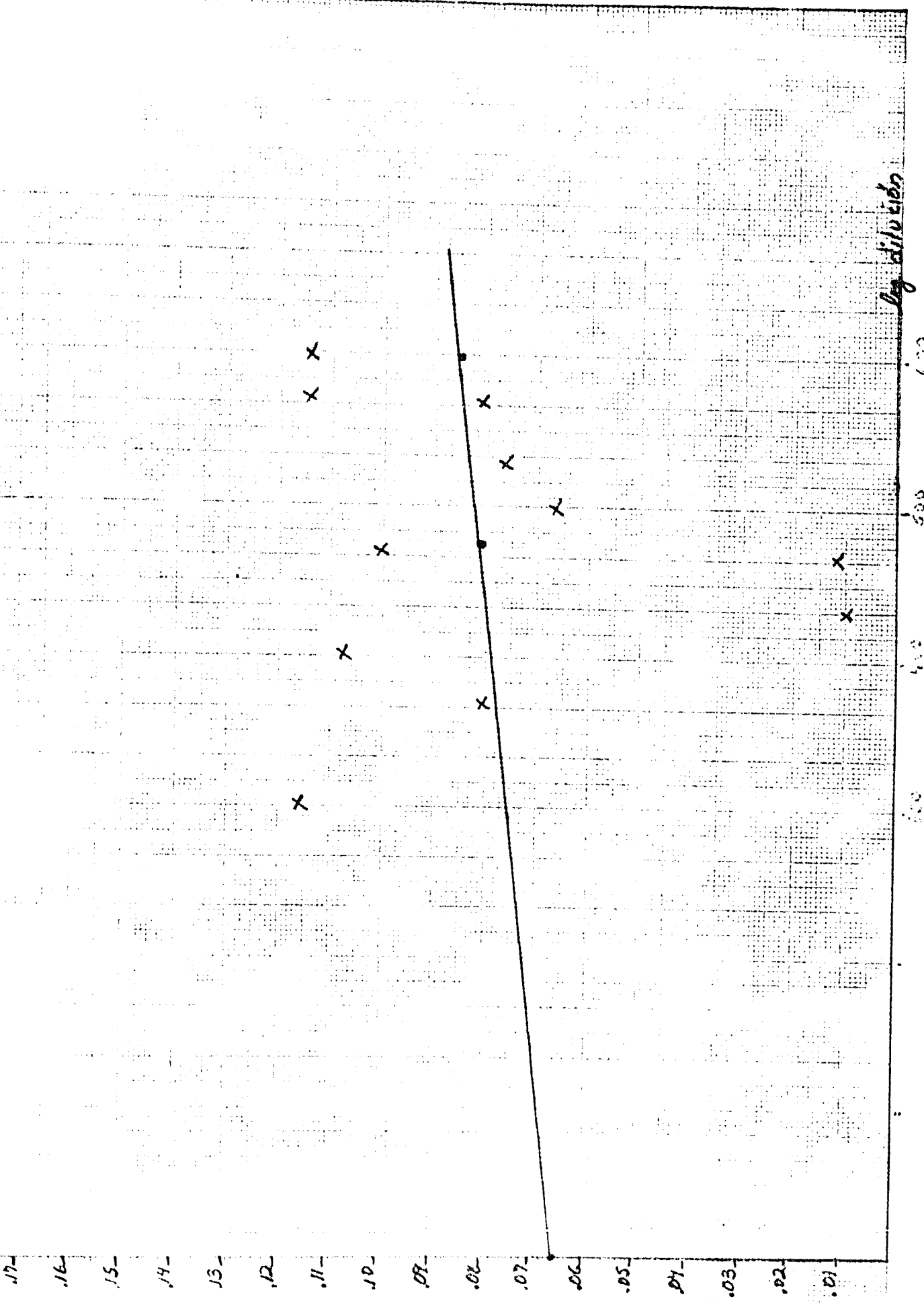


$pH = 7.2$



Actividad del Tensil a $\rho^4 = 9.6$

$\rho^4 = 9.6$



$\rho = 9.2$

log dilución

600

500

400

300

Actividad del Fenol a $\rho^A = 9.2$

.16-

.15-

.14-

.13-

.12-

.11-

.10-

.09-

.08-

.07-

.06-

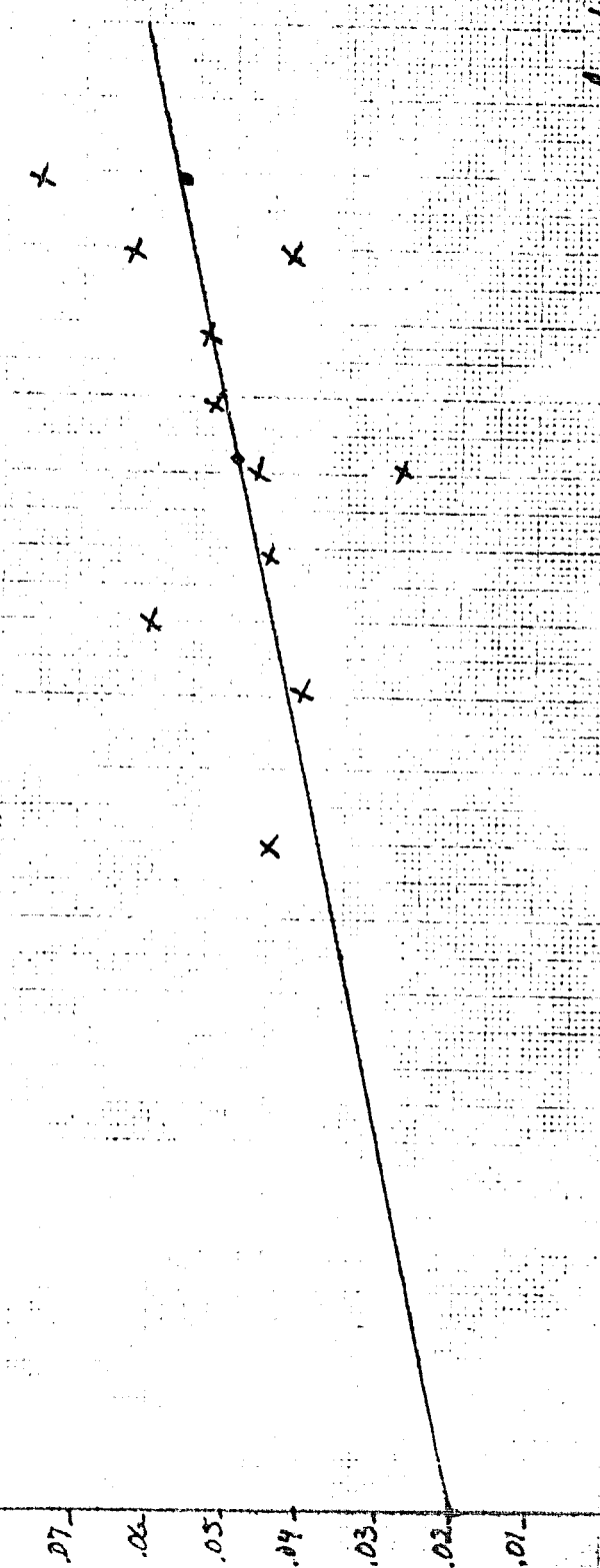
.05-

.04-

.03-

.02-

.01-



Actividad del Fenol a $\rho^H = 9.6$

$$\rho^H = 9.6$$

.18-.
.17-.
.16-.
.15-.
.14-.
.13-.
.12-.
.11-.
.10-.
.09-.
.08-.
.07-.
.06-.
.05-.
.04-.
.03-.
.02-.
.01-

600
500
400
300

300
200
100

100

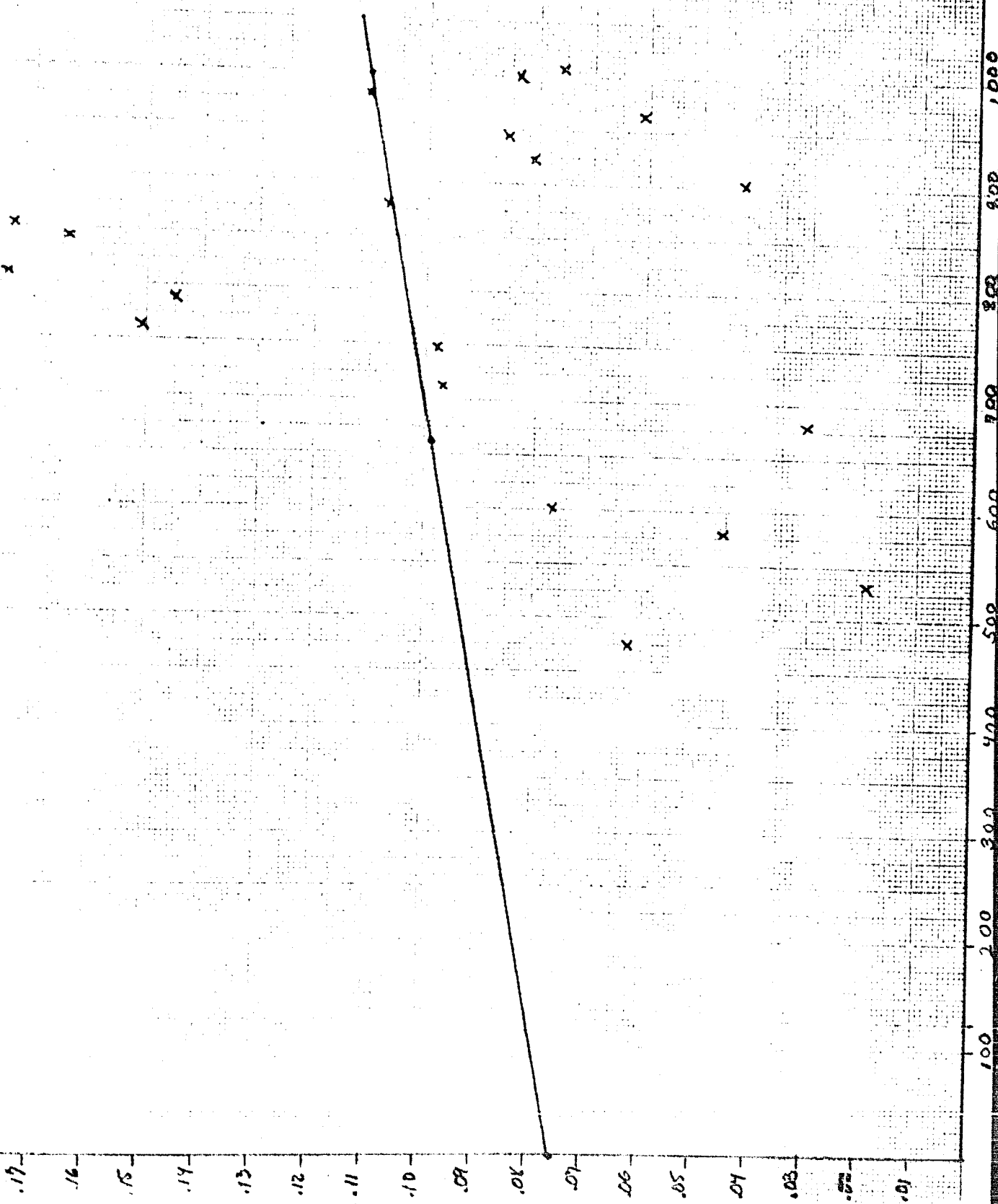
log dilución

en el
diagrama A
Gráfico C

.M. 0,0

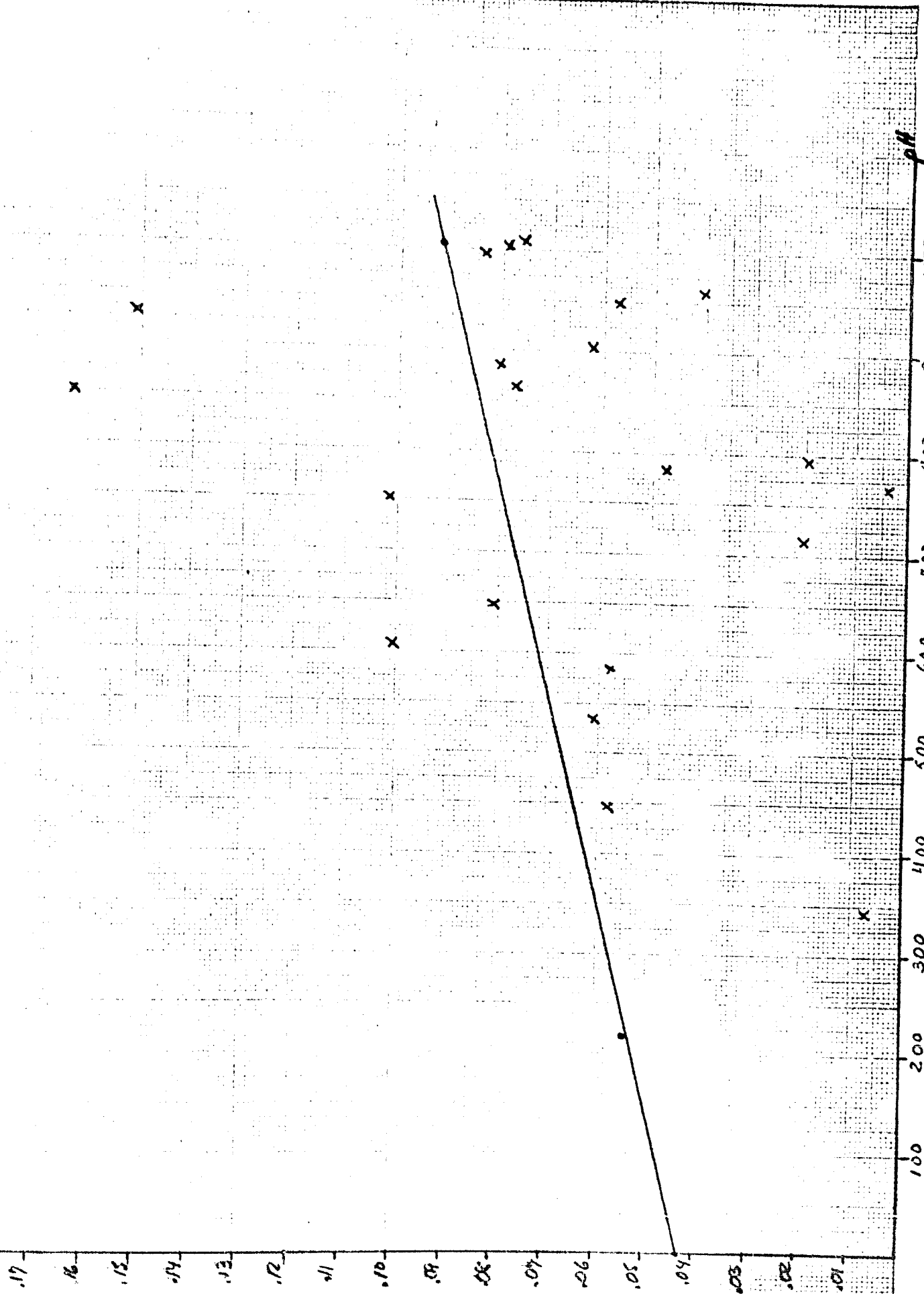


Gráfico C
Efecto del pH sobre la actividad del Tensil a dilución 1:10,000



dilución 2

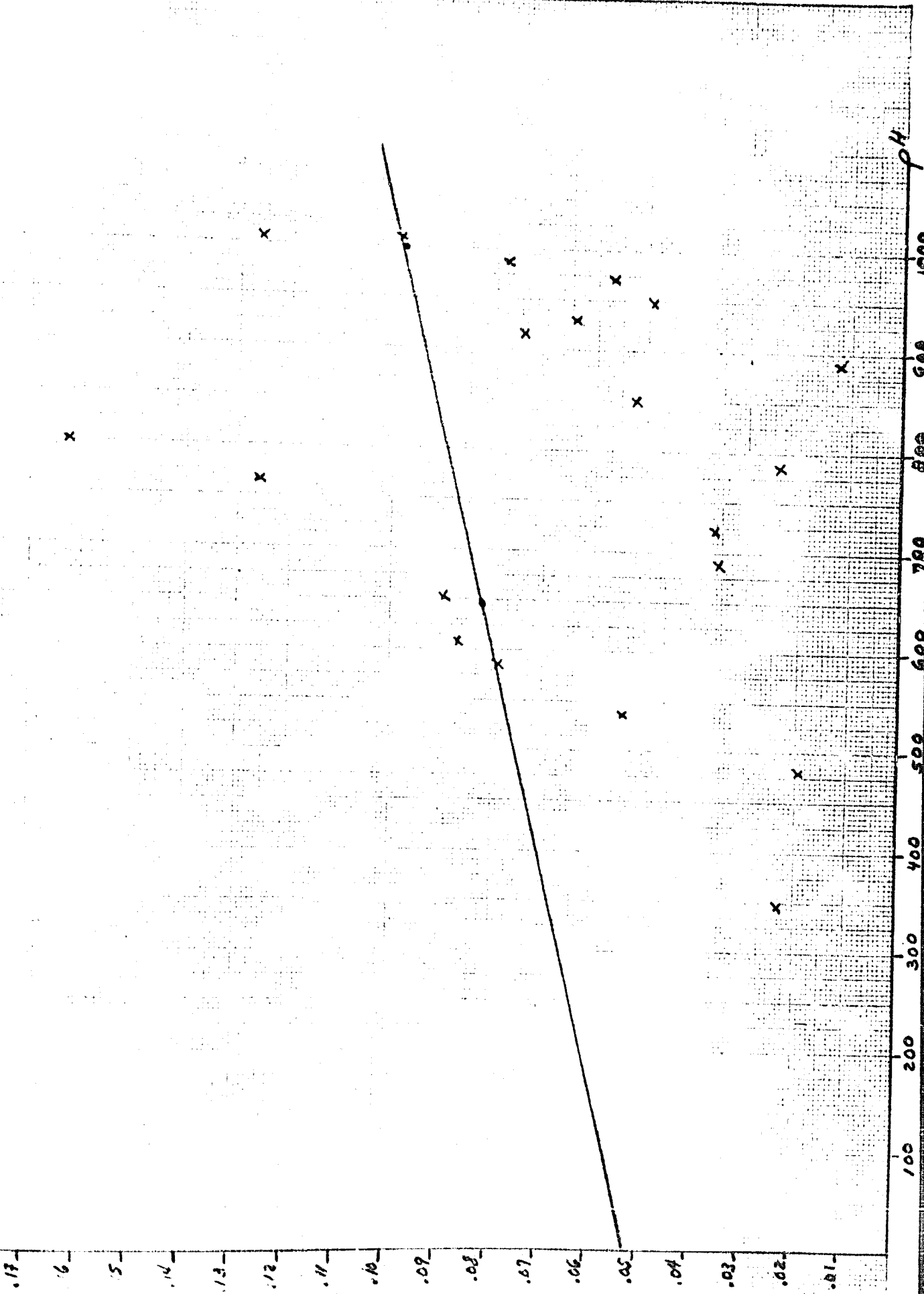
Efecto del pH sobre la actividad del Fenol a dilución 1/5000

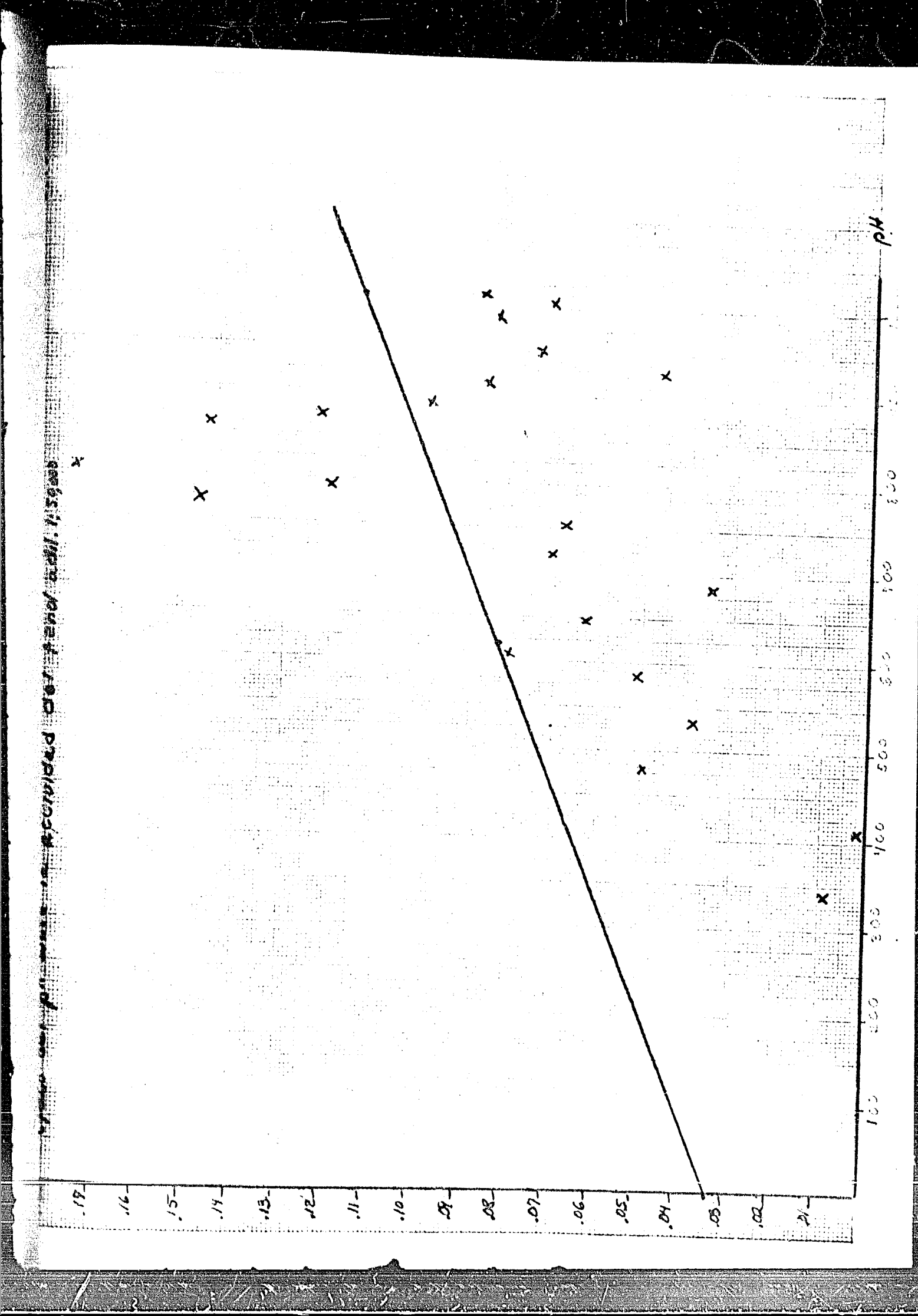


Censo de población y vivienda de 2010 sobre el territorio de la Provincia de Jujuy

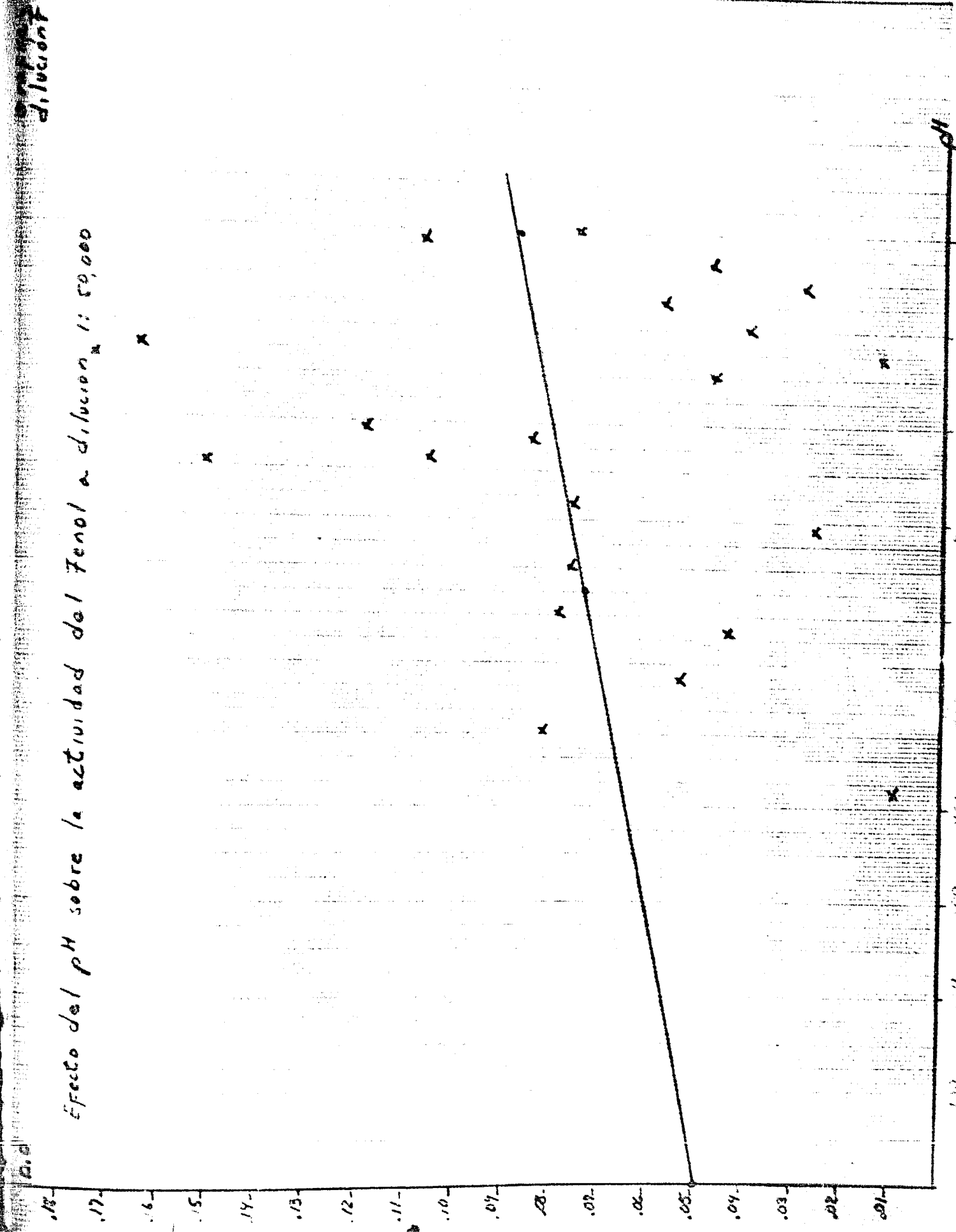
10-22

diluvio





Efecto del pH sobre la actividad del fenol a dilución 1: 50,000



Efecto del pH sobre la actividad del Fénol a dilución 1:100,000

dilución

.17-

.16-

.15-

.14-

.13-

.12-

.11-

.10-

.09-

.08-

.07-

.06-

.05-

.04-

.03-

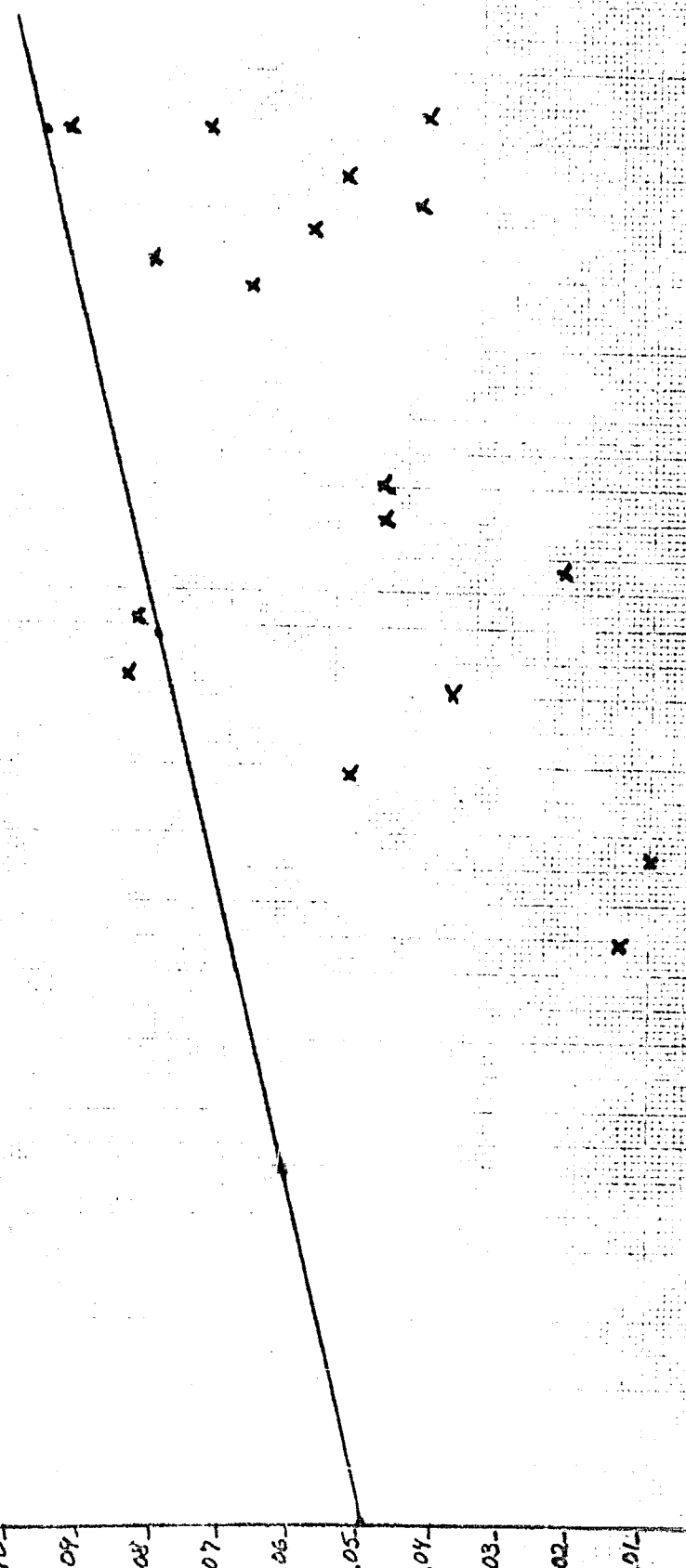
.02-

.01-

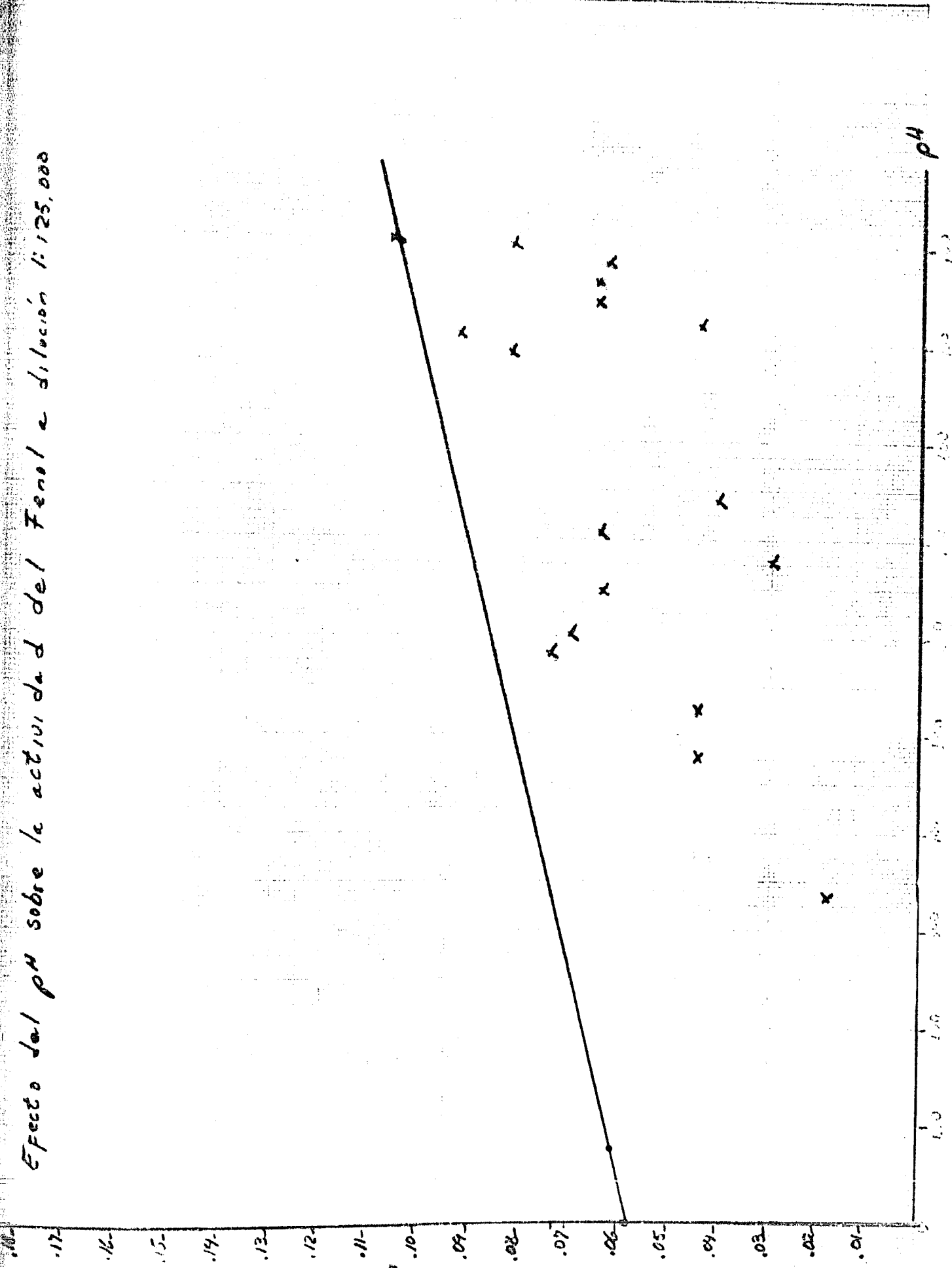
.00-

pH

1.00 0.90 0.80 0.70 0.60 0.50 0.40 0.30 0.20 0.10 0.00



Efecto del pH sobre la actividad del fenoil a dilución 1:125,000



21

Effects of pH separation media on Pd^{2+} reduction

0.01

0.02

0.03

0.04

0.05

0.06

0.07

0.08

0.09

0.10

0.11

0.12

0.13

0.14

0.15

0.16

0.17

0.18

0.19

0.20

0.21

0.22

0.23

0.24

0.25

0.26

0.27

0.28

0.29

0.30

0.31

0.32

0.33

0.34

0.35

0.36

0.37

0.38

0.39

0.40

0.41

0.42

0.43

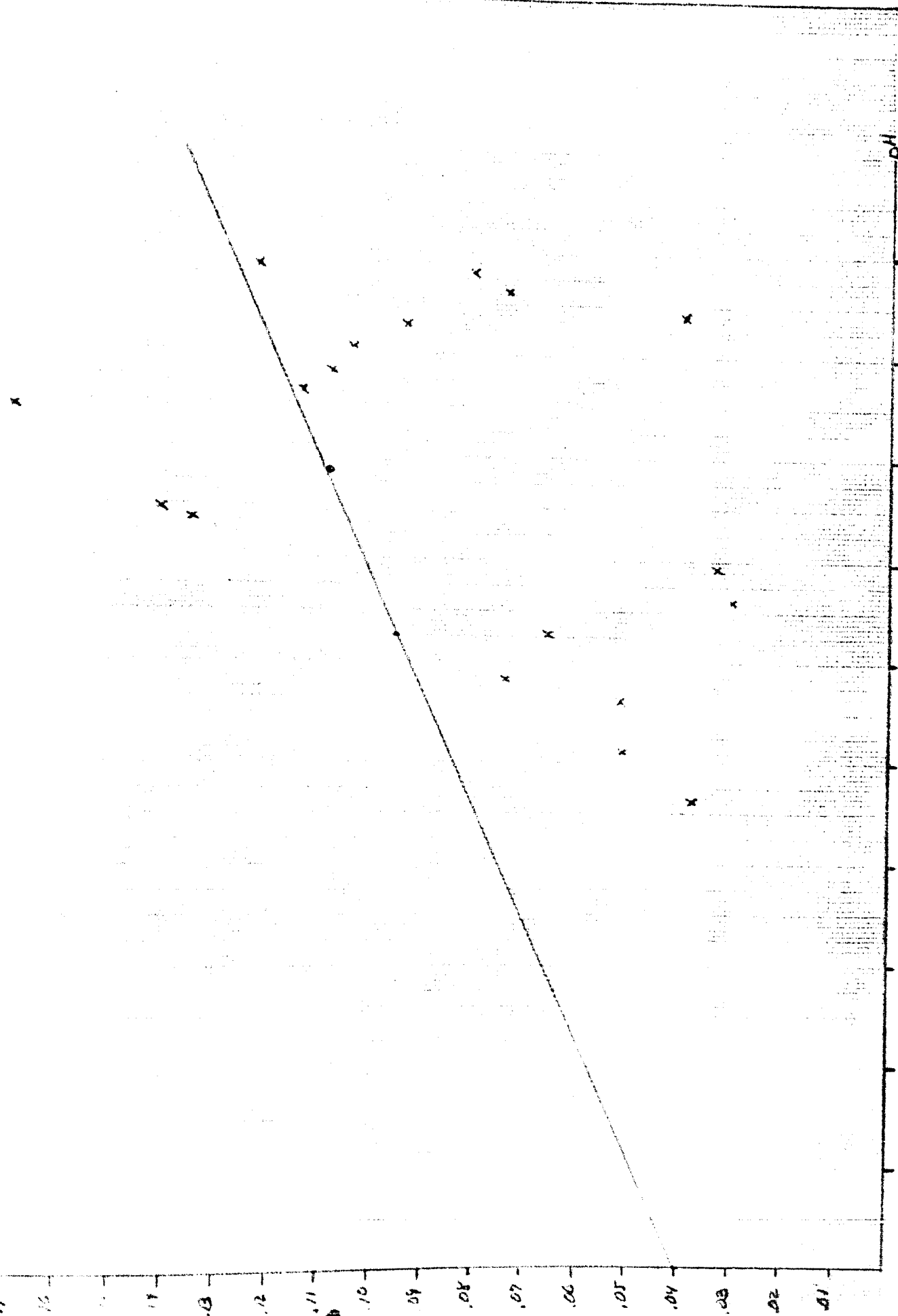
0.44

0.45

0.46

0.47

pH



18-00 Efecto del pH sobre la actividad del Tono/actividad 1:15000

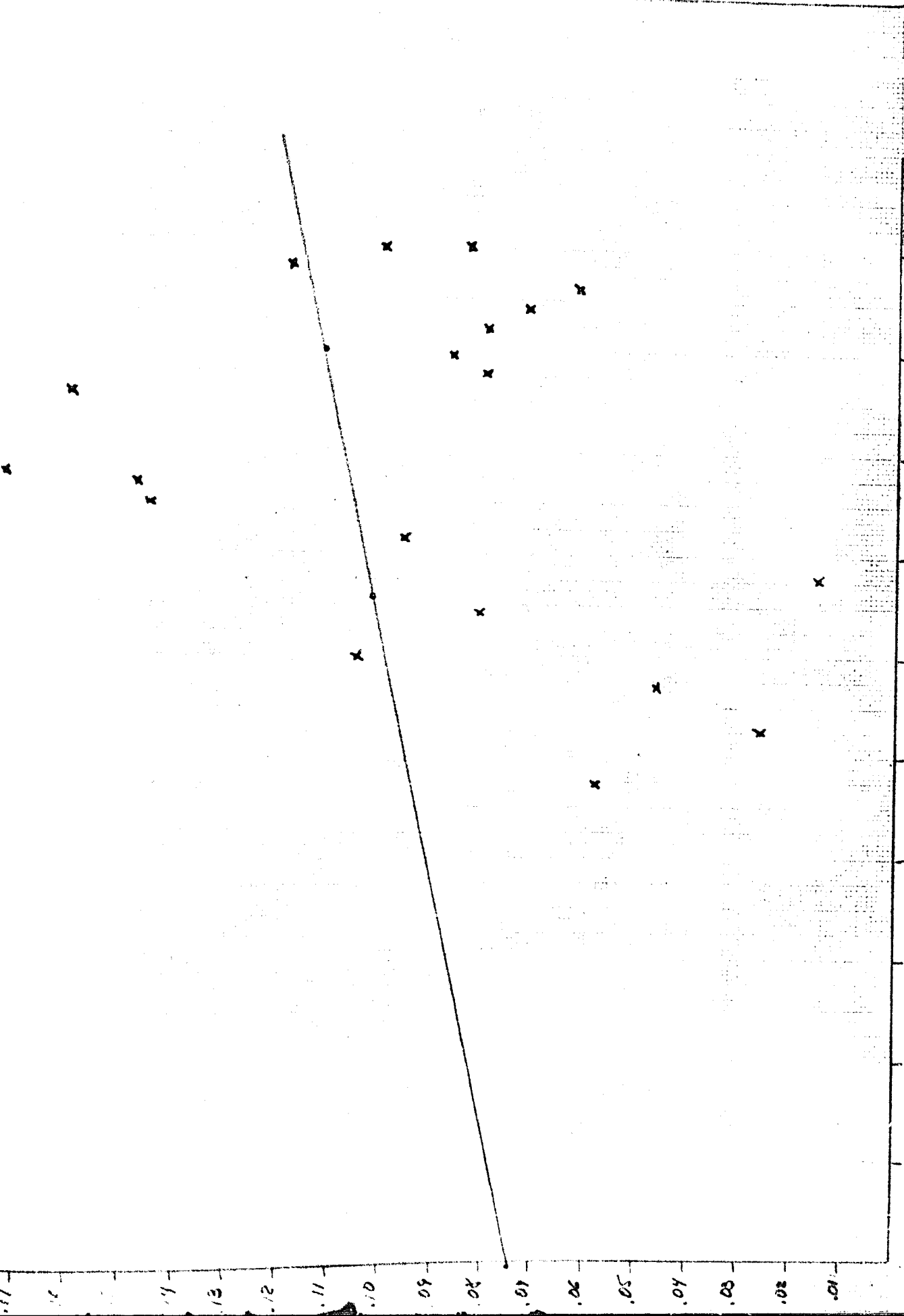
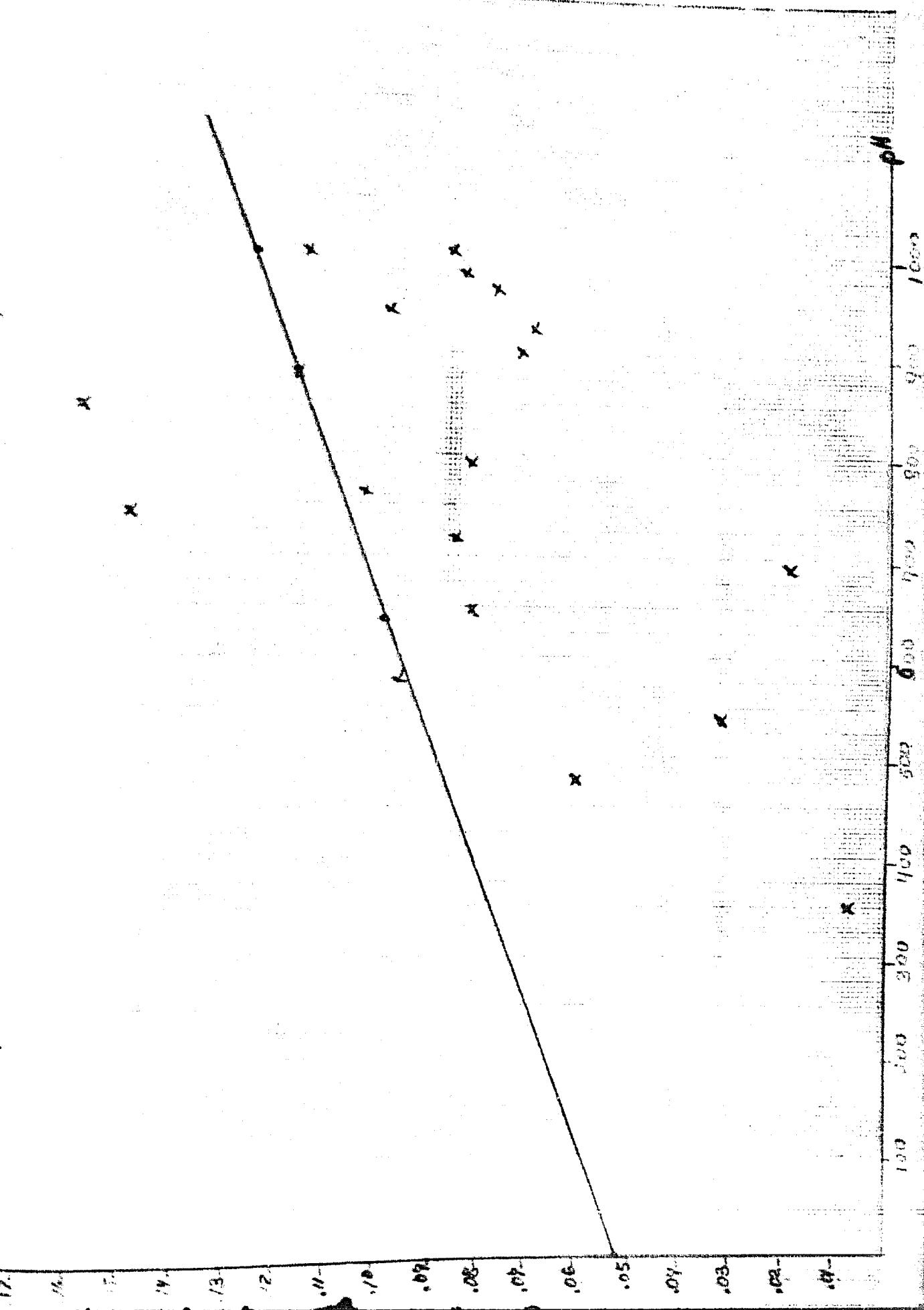
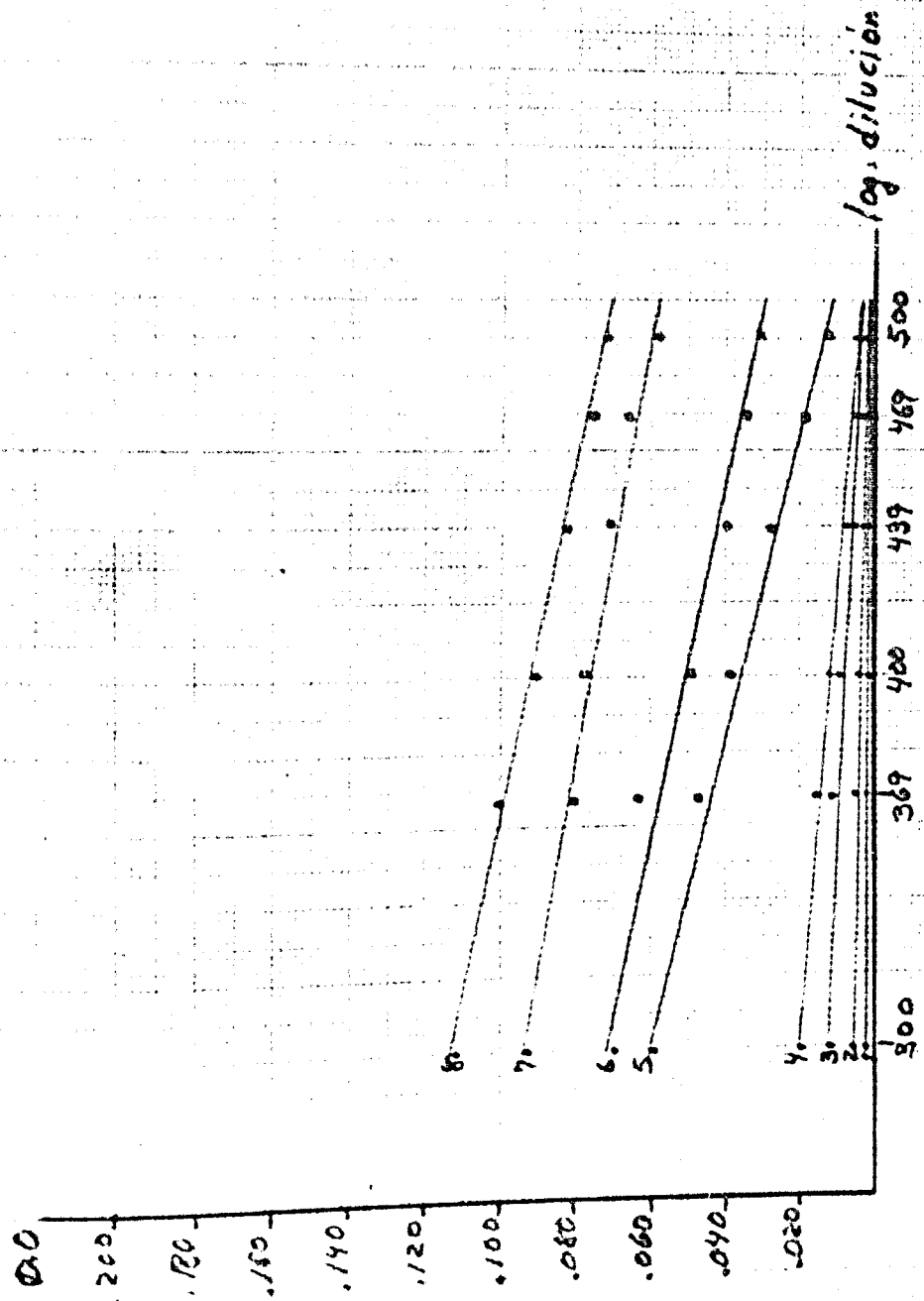


Gráfico del pH sobre la actividad del feno/ a dilución 1/100,000



1 = pH 6
2 = pH 7
3 = pH 8
4 = pH 9
5 = pH 10
6 = pH 11
7 = pH 12



3.- GRÁFICAS:

Interpretación de las gráficas:

En primer lugar tenemos la gráfica que nos muestra que es verdadero el hecho de que mientras más diluida sea una suspensión de microorganismos, menor será la densidad óptica que se les y viceversa; esto comprueba que el método de medida de la densidad óptica para la concentración real de microorganismos puede dar buenos resultados.

En la Gráfica "A" se observa que a mayor dilución de fensol, mayor será la densidad óptica en virtud de que mientras se efectúe este fensol, mayor será el crecimiento de microorganismos.

En la Gráfica "B" se graficaron las lecturas obtenidas en densidad óptica a un pH constante. En la Gráfica "C" el caso es al contrario, es decir, con una dilución constante aunque este presente el fensol lo cual indica que el fensol — aunque esté presente el fensol lo cual indica que el fensol — pierde actividad antiséptica por completo en pH alcalinos habiendo por lo tanto nada que impida el crecimiento bacteriano, siendo mejor la inhibición a pH neutros, este mismo fensol — como se observa a pH ácidos, tanto es así, que los cálculos estadísticos a estos pH extremos como a 2.0 - 2.5, no se pueden efectuar porque las lecturas obtenidas no son comparables estadísticamente pues los valores son erróneos.

En las Gráficas B y C, los puntos (.) son los obtenidos por cálculo estadístico y los (x) son los resultados de las lecturas de densidad óptica.

La Gráfica "D" que consiste de los datos obtenidos a las cuatro horas de incubación, se graficó también densidad óptica contra dilución de fensol, pero esta vez restando las lecturas directas de un blanco que se hizo de igual forma que los tubos probeta, solo que en éste se desarrollara lo mismo que con objeto de que en ese tubo se desarrollara lo mismo que en esa cantidad de medio y en esas condiciones pudiere desarrollarse la cantidad de medio y en esas condiciones las lecturas obtenidas con el problema se graficaría lo que inhibió el desarrollo: de tal forma que al restar de ese blanco las lecturas obtenidas con el problema se graficaría lo que inhibió el desarrollo o sea lo que no creció debido a la cantidad de antiséptico presente. Por lo tanto en este caso, mientras mayor concentración de fensol haya, mayor será la cantidad de microorganismos que no desarrollarán obtendrándose por consiguiente mayor densidad óptica.

4.- CONCLUSIONES:

En todo el trabajo desarrollado, se encontró que —

la acción antiséptica del formal, requiere un cuadro comprendiendo del valor del pH, pues la actividad de ese antiséptico es -
se afectada considerablemente en los lados alcalinos y ácidos -
y esto en los límites de pH muestra su poder antiséptico es -
realmente efectivo, perdiendo por completo su actividad en ag -
dios de pH extremos.

En lo referente al método, este es tan complicado -
como el de la determinación del coeficiente fálico de los -
antisepticos, pero es recomendable cuando se cuenta con el ap -
parato necesario.

3.- BIBLIOGRAFIA:

- 1.- Revista Sudamericana de Radioterapia, Immunología y
Quimioterapia.
21 (7) (Julio) 403-41 : 1940
- 2.- Revista Sudamericana de Radioterapia, Immunología y
Quimioterapia.
21 353-374 : 1940
- 3.- "Journal of the American Pharmaceutical Association"
xxii (2) (Febrero) 92-97 : 1934
- 4.- "Journal Bacteriology"
32 (5) : 1945
- 5.- Wilson G.H.O. & Criswell, J. Textbook of Or ~~the~~ Medical
and Pharmaceutical Chemistry '38 Ed. 170-73
J.B. Lippincott Co. Philadelphia, Montreal. 1936.
- 6.- "Journal Bacteriology"
42 (1) 1940.

- - - - -